

第六章 典型的非线性分类器

苏智勇

可视计算研究组

南京理工大学

suzhiyong@njust.edu.cn

<https://zhiyongsu.github.io>

主要内容

6.1 分段线性判别函数

6.2 二次判别函数

6.3 多层感知器神经网络

6.4 支持向量机

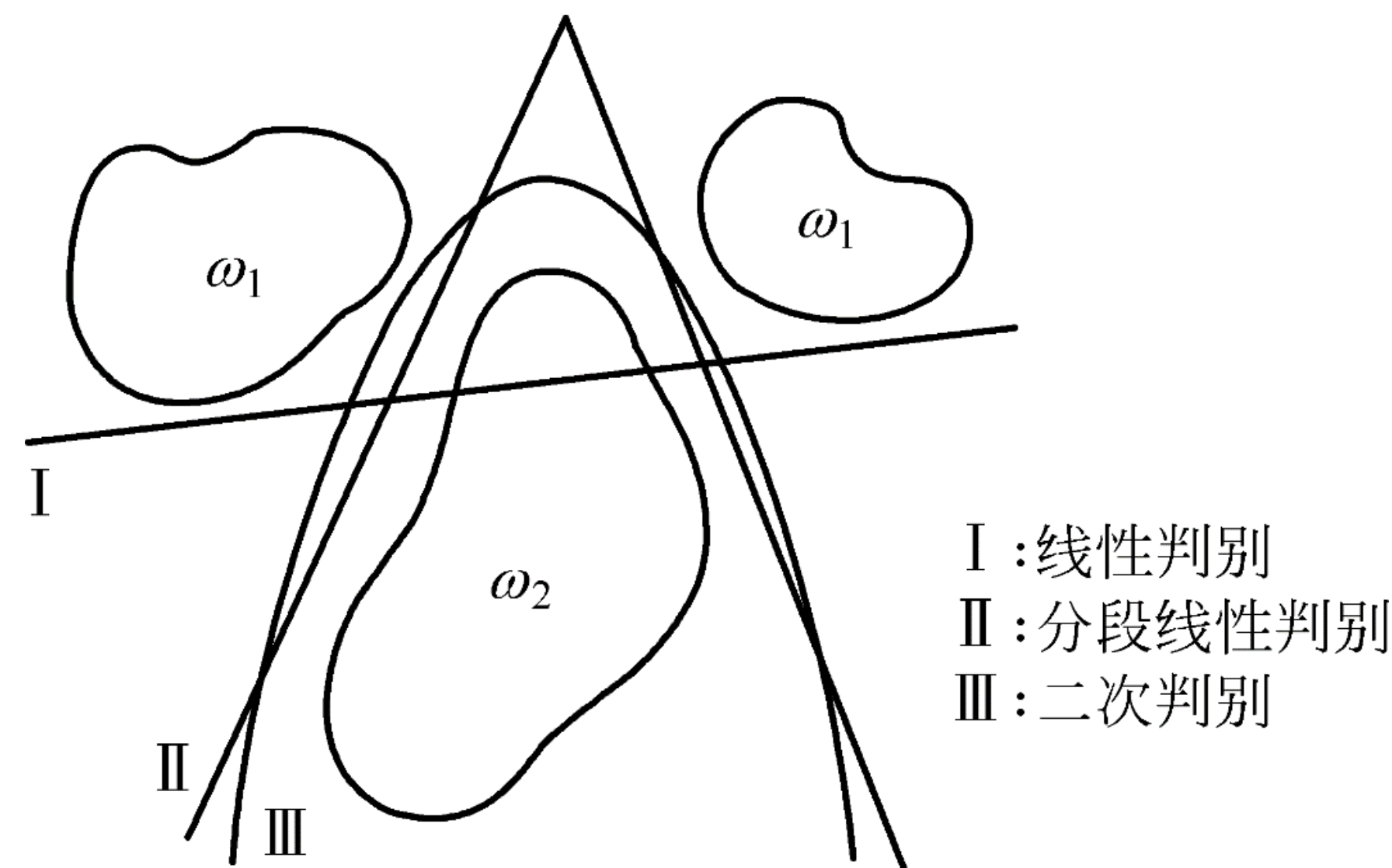
6.5 核函数机器

线性判别函数 VS 非线性判别函数

- 线性判别函数
 - 简单、实用、经济
 - 线性不可分时错误率可能较大
- 非线性判别函数
 - 各种函数的集合
 - 分段线性分类器、二次判别函数、多层感知器、支持向量机（非线性）等

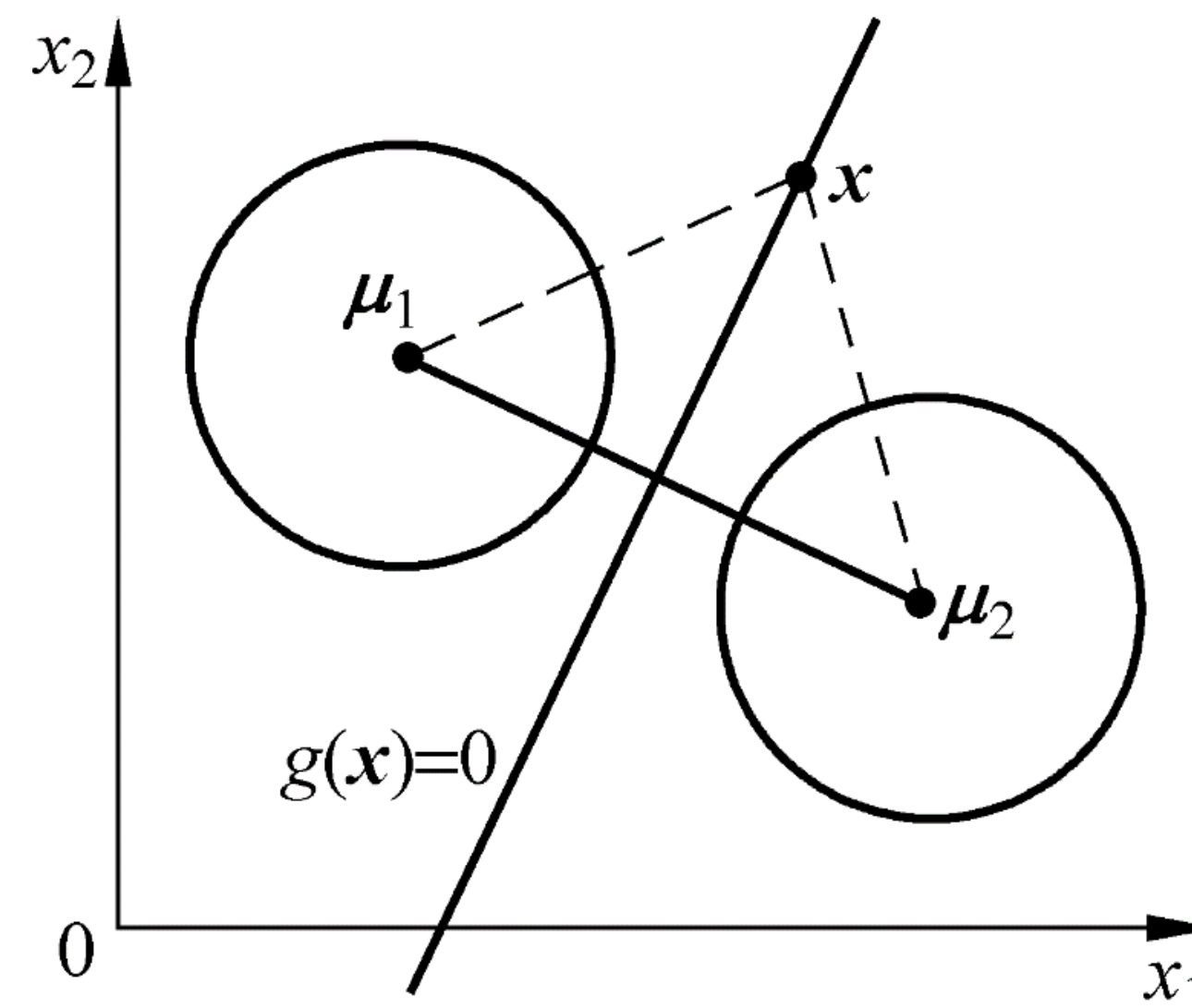
6.1 分段线性判别函数

- 定义
 - 用多个线性分类器片段来实现非线性分类
 - 用多段线性函数来逼近非线性函数



6.1.1 分段线性距离分类器

- 最小距离分类器
 - 有 $\omega_1, \dots, \omega_c$ 个类，均值是 $\mu_i (i = 1, \dots, c)$
 - _ 对样本 x ，如果 $\|x - \mu_k\|^2 = \min_{i=1, \dots, c} \|x - \mu_i\|^2$ ，则决策 x 属于 ω_k 类
 - 两类情况下，最小距离分类器就是两类均值之间连线的垂直平分面（超平面）



6.1.1 分段线性距离分类器

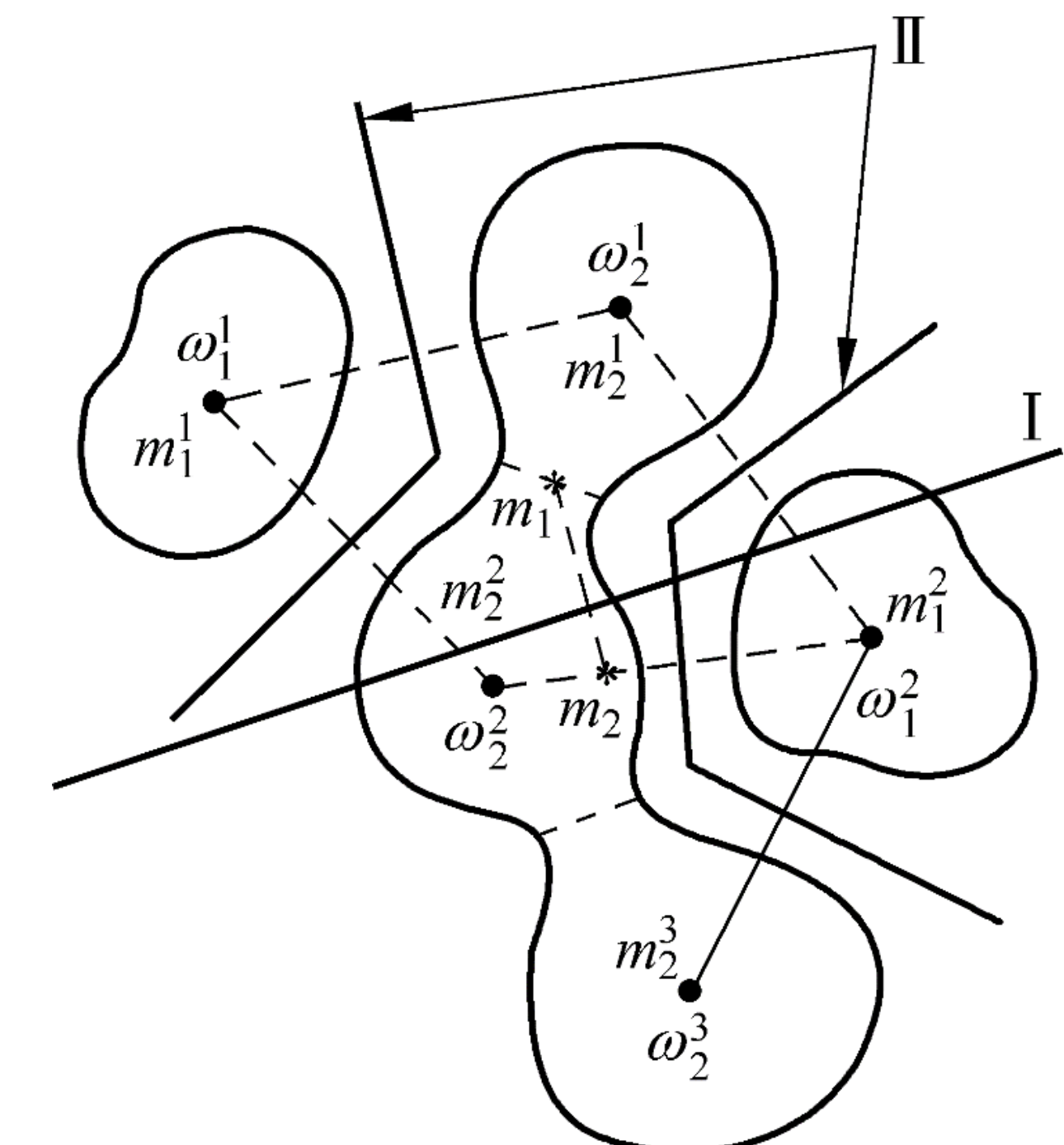
- 分段线性距离分类器

- 把属于 ω_i 类的样本区域 R_i 划分 ($i = 1, 2, \dots, c$) 为 l_i 个子区域
 $R_i^l, l = 1, 2, \dots, l_i$, 每个子类的均值 \mathbf{m}_i^l , 对样本 x , ω_i 类的判别函数定义为

$$g_i(x) = \min_{l=1, \dots, l_i} \|x - \mathbf{m}_i^l\|$$

- 对一个待分类样本, 把它分到距离最近的子类所属于的类
- 决策规则

若 $g_k(x) = \min_{i=1, \dots, c} g_i(x)$, 则决策 $x \in \omega_k$



6.1.2 一般的分段线性判别函数

- 对每个子类建立一般形式的线性判别函数

- 把每个类别划分成 l_i 个子类

$$\omega_i = \{\omega_i^1, \omega_i^2, \dots, \omega_i^{l_i}\}, i = 1, 2, \dots, c$$

- 对每个子类定义线性判别函数

$$g_i^l(x) = w_i^l \cdot x + \omega_{i0}^l, l = 1, \dots, l_i, i = 1, \dots, c$$

- 类 ω_i 的分段线性判别函数就定义为

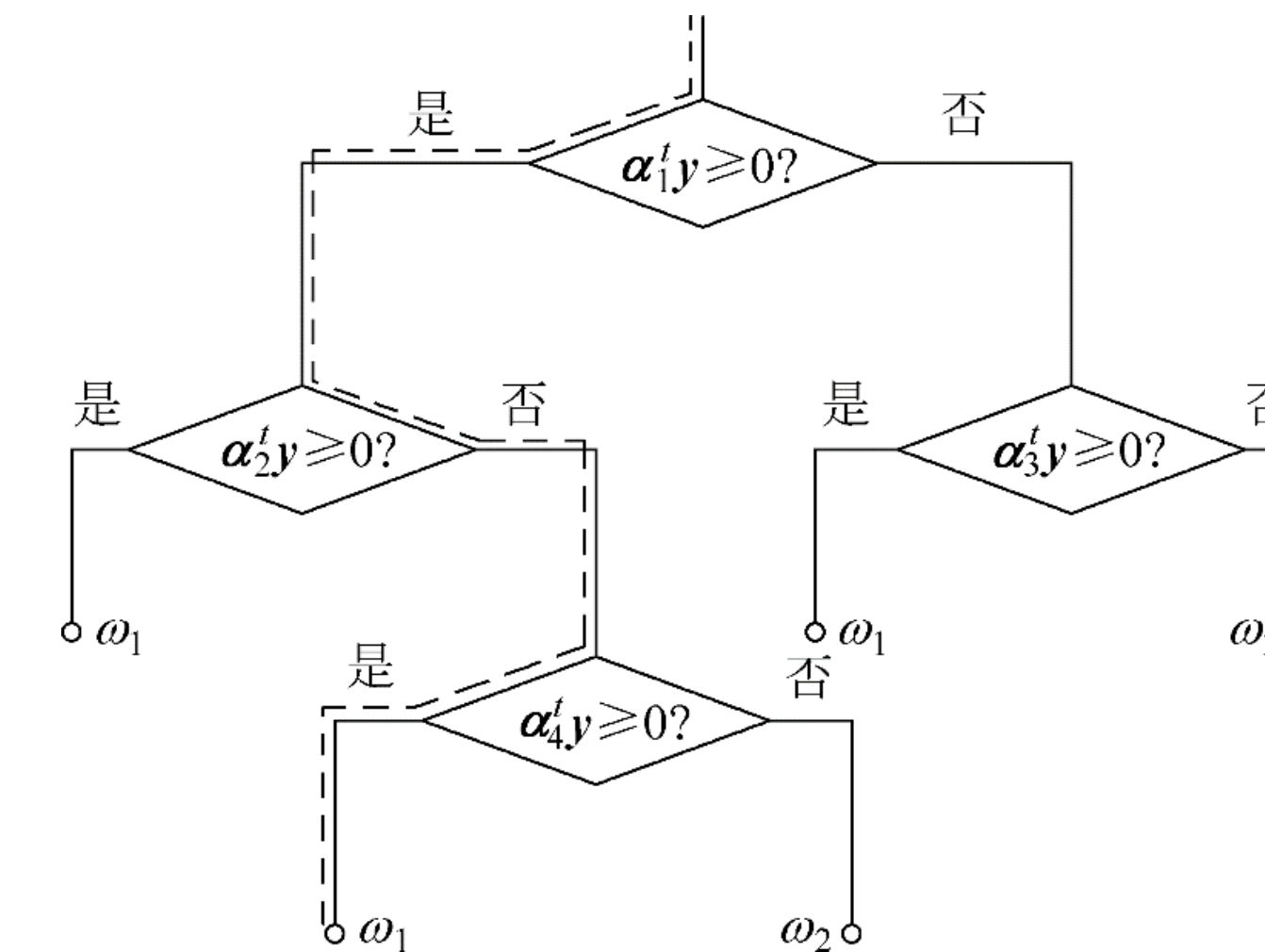
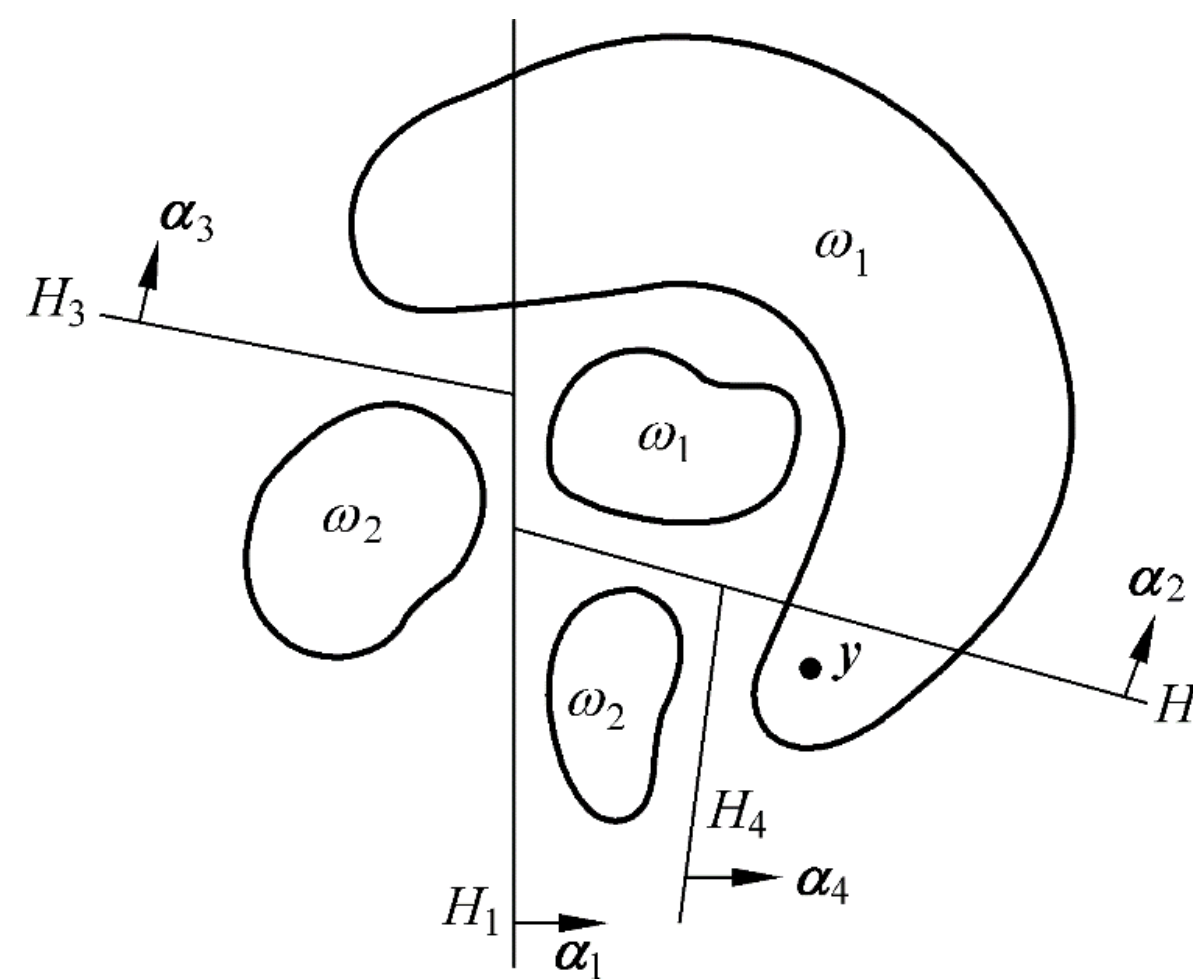
$$g_i(x) = \max_{l=1, \dots, l_i} g_i^l(x), i = 1, \dots, c$$

- 决策规则

若 $g_k(x) = \min_{i=1, \dots, c} g_i(x)$, 则决策 $x \in \omega_k$

6.1.2 一般的分段线性判别函数

- 子类划分的三种设计方法
 - 人工确定子类的划分方案：多类分类器投票
 - 已知或可假定子类数目，但不知子类的划分：错误修正法，边划分边分类
 - 子类数目无法事先确定：树状分段线性分类器



6.1.2 一般的分段线性判别函数

- 已知或可以假定子类数目，但不知道子类的划分： $\omega_i, i = 1, \dots, c$, ω_i 类中有 l_i 个子类， $\alpha_i^l(k)$ 为子类权值
 - (a) 初始化权值， $\alpha_i^l(0), i = 1, \dots, c, l = 1, \dots, l_i$
 - (b) 已对某个样本 $y_k \in \omega_j$, 找出 ω_j 类的子类中最大的判别函数

$$\alpha_j^m(t)^T y_k = \max_{l=1, \dots, l_j} \{\alpha_j^l(t)^T y_k\}$$

✓ 是若 $\alpha_j^m(t)^T y_k > \alpha_i^l(t)^T y_k, \forall i = 1, \dots, c, i \neq j, l = 1, \dots, l_i$, 则 $\alpha_i^l(t)$ 不变

✓ 若对某个 $i \neq j$, 存在子类 l , 有 $\alpha_j^m(t)^T y_k \leq \alpha_i^l(t)^T y_k$, 则 y_k 被错分, 对其中最大者 (记为 i, n) , 修正:

$$\alpha_j^m(t+1) = \alpha_j^m(t) + \rho_k y_k$$

$$\alpha_i^n(t+1) = \alpha_i^n(t) - \rho_k y_k$$

- (c) 对下一个样本重复 (b), 直到收敛

6.2 二次判别函数

- 二次判别函数是一种常用的固定函数类型的分类方法，一般形式

$$g(\mathbf{x}) = \mathbf{x}^\top \mathbf{W} \mathbf{x} + \mathbf{w}^\top \mathbf{x} + w_0 = \sum_{k=1}^d w_{kk} x_k^2 + 2 \sum_{j=1}^{d-1} \sum_{k=j+1}^d w_{jk} x_j x_k + \sum_{j=1}^d w_j x_j + w_0$$

- 参数多、计算复杂；样本数量不够时，可靠性和泛化性难以保证
- 假定每一类数据符合正态分布，可以定义如下二次判别函数

$$g_i(\mathbf{x}) = K_i^i - (\mathbf{x} - \mathbf{m}_i)^\top \Sigma_i^{-1} (\mathbf{x} - \mathbf{m}_i)$$

其中， $\hat{\mathbf{m}}_i = \frac{1}{N_i} \sum_{j=1}^{N_i} \mathbf{x}_j$, $\hat{\Sigma}_i = \frac{1}{N_i - 1} \sum_{j=1}^{N_i} (\mathbf{x}_j - \hat{\mathbf{m}}_i)(\mathbf{x}_j - \hat{\mathbf{m}}_i)^\top$

- 适用于两类分布较成团的情况， K_i 阈值，控制决策椭球大小

6.2 二次判别函数

- 假定一类 ω_1 近似正态分布，另一类 ω_2 均匀分布在第一类附近，只要对第一类求解其二次判别函数即可

$$g(x) = K^2 - (x - \hat{m}_1)^T \hat{\Sigma}_i^{-1} (x - \hat{m}_1)$$

其中， $\hat{m}_i = \frac{1}{N_i} \sum_{j=1}^{N_i} x_j$, $\hat{\Sigma}_i = \frac{1}{N_i - 1} \sum_{j=1}^{N_i} (x_j - \hat{m}_i)(x_j - \hat{m}_i)^T$

6.3 多层感知器神经网络

- 人工神经网络的定义

按美国神经网络学者Nielsen的定义

- 人工神经网络是一个并行、分布式处理结构，由处理单元及其称为联接的无向通道互连而成。
- 这些处理单元具有局部内存，可以完成局部操作。该操作由输入至该单元的信号值和存储在该单元中的信号值来确定。
- 每个处理单元有一个单一的输出联接，输出信号可以是任何需要的数学模型。

是一种模仿生物神经网络的结构和功能的数学模型或计算模型。

6.3 多层感知器神经网络

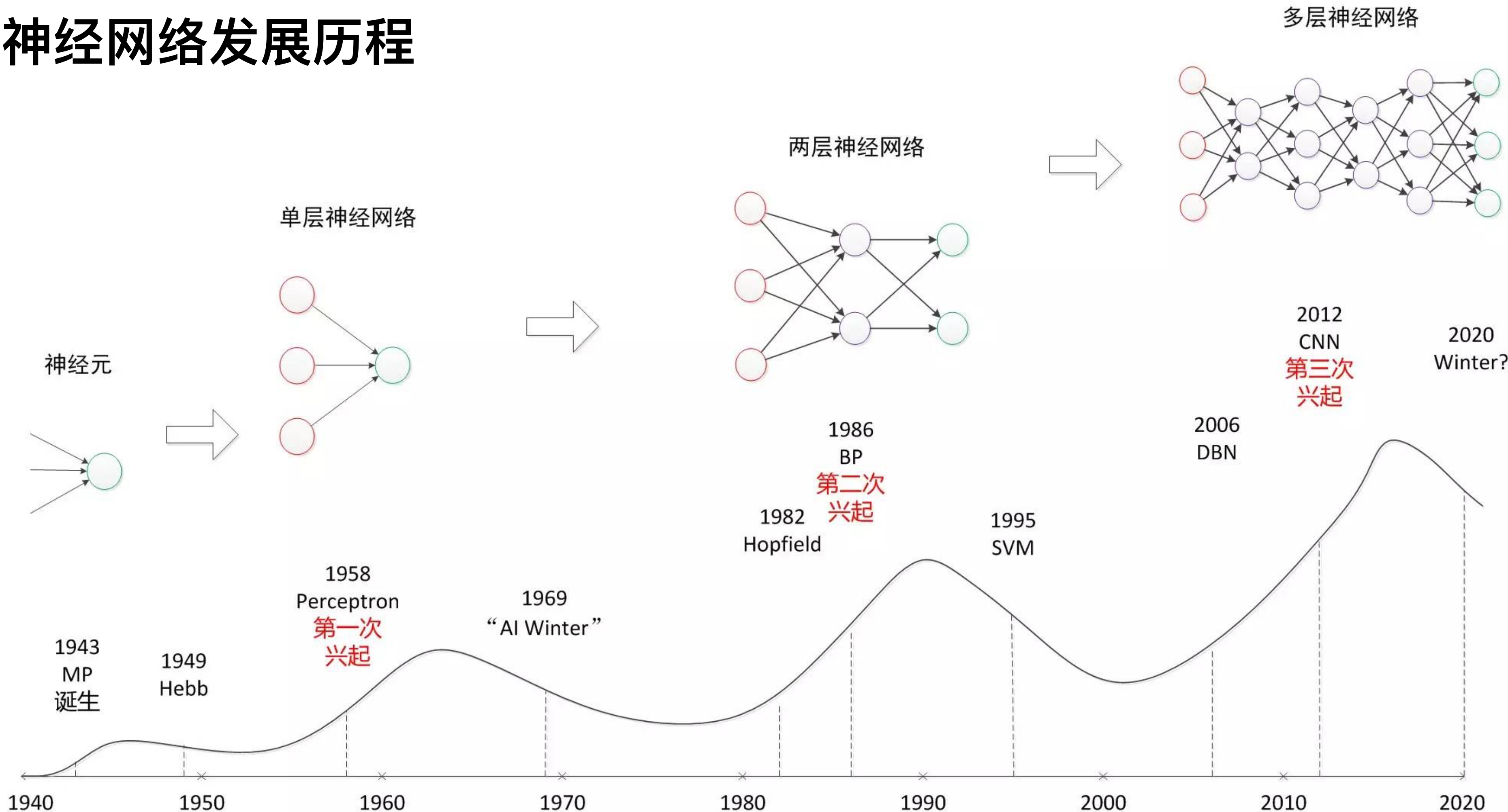
- 人脑

- 大脑里有许许多多(约800亿) 神经细胞 (神经元)。每个神经细胞由两个部分组成:细胞体和突起
- 每个神经元可看作是一个小的处理单元，这些神经元按某种方式连接起来，形成大脑内部的生理神经元网络。
- 神经元网络中各神经元之间联结的强弱，按外部的激励信号做自适应变化，而每个神经元又随着所接收到的多个接收信号的综合大小而呈现兴奋或抑制状态。
- 现已明确大脑的学习过程就是神经元之间连接强度随外部激励信息做自适应变化的过程，而大脑处理信息的结果 则由神经元的状态表现出来。



6.3 多层感知器神经网络

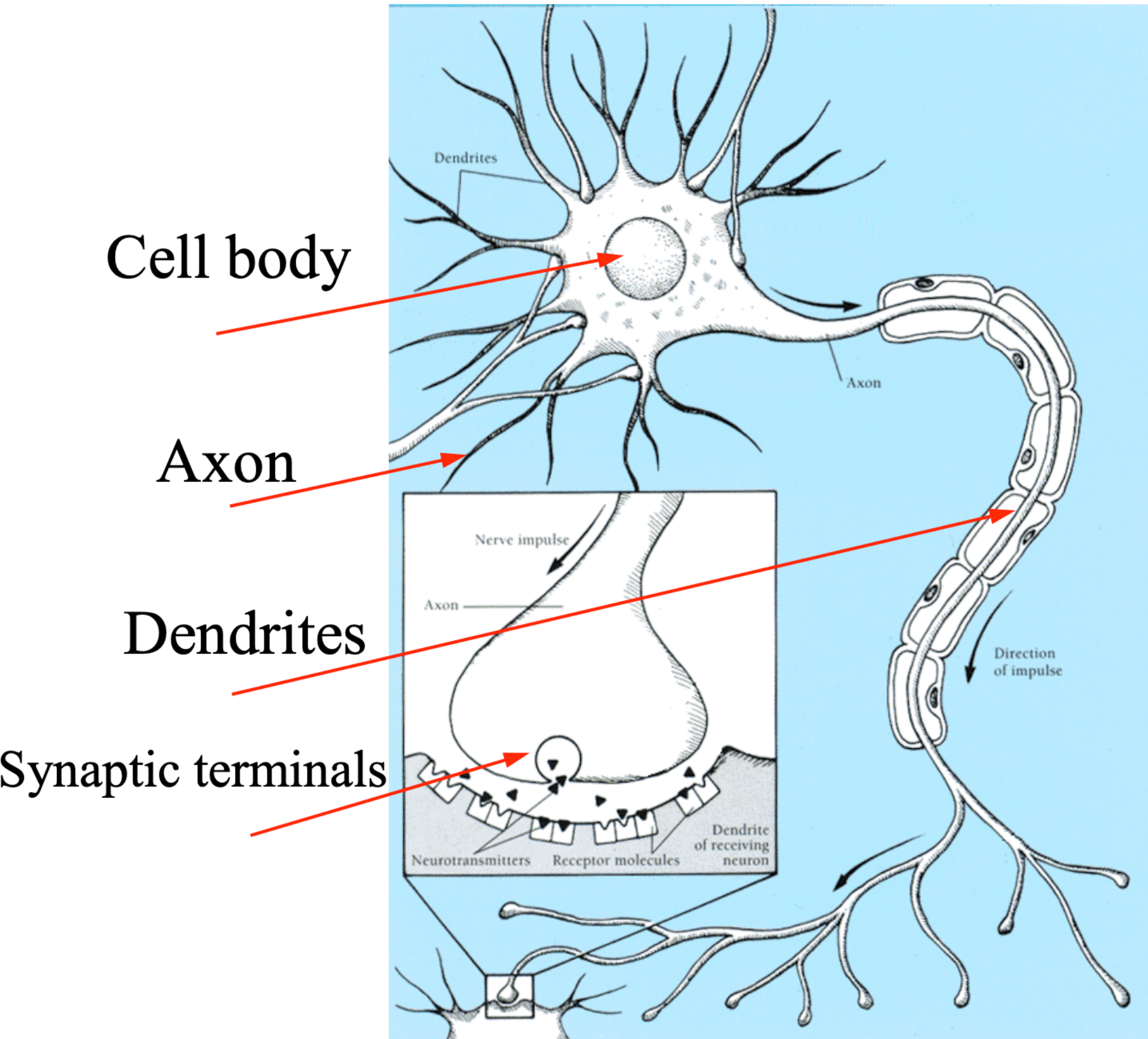
- 人工神经网络发展历程



6.3.1 神经元与感知机

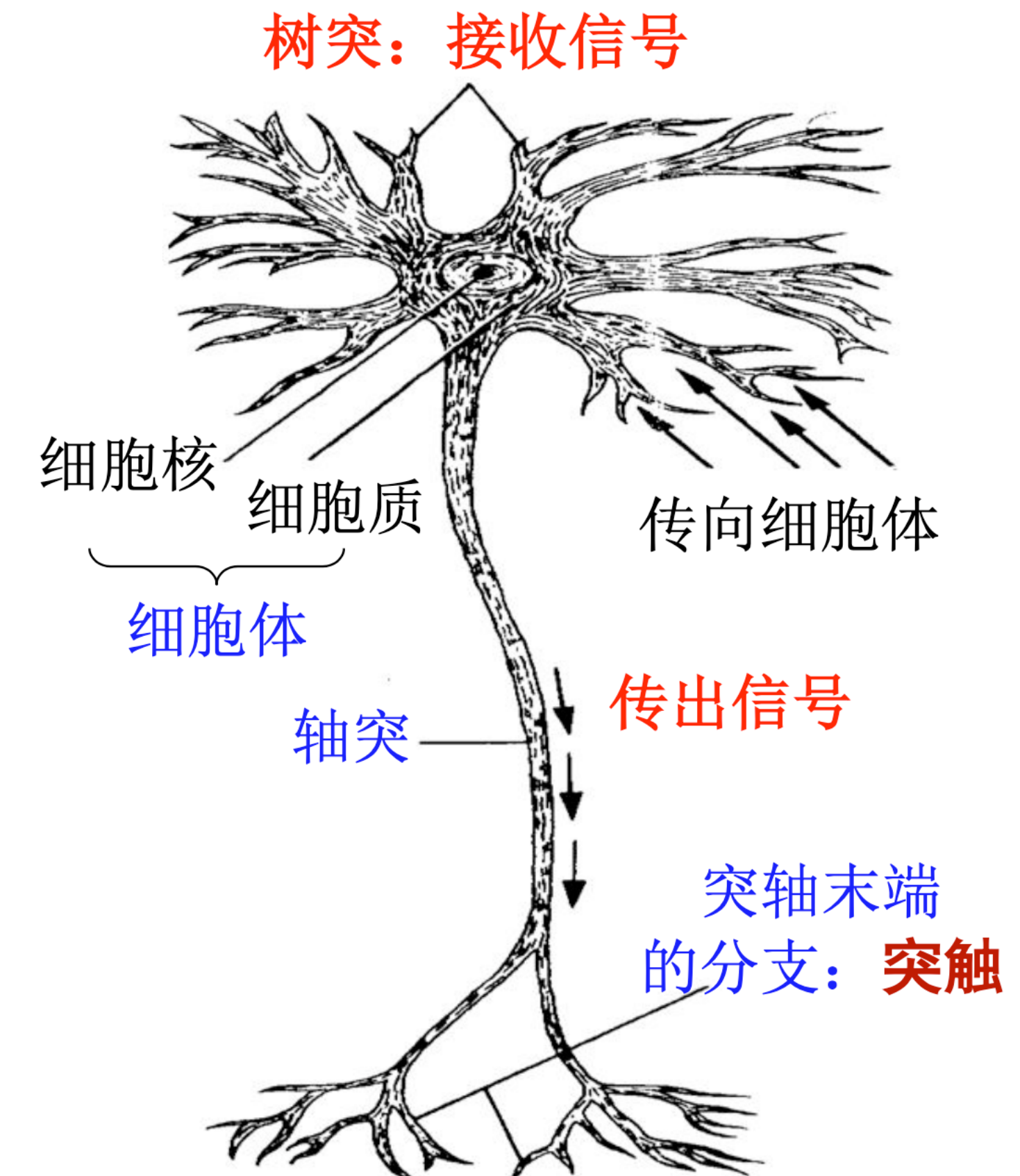
- 神经元 (neuron)

- 由细胞体 (cell body) 和突起组成。
- 突起分为两种：树突 (dendrites) 、轴突 (axon) 、突触
 - 短的叫树突，从其它神经细胞接收信号传递给细胞体的
 - 长的叫轴突，将信号传递给其它神经细胞的树突的。
 - 突触：突轴末端的分支。



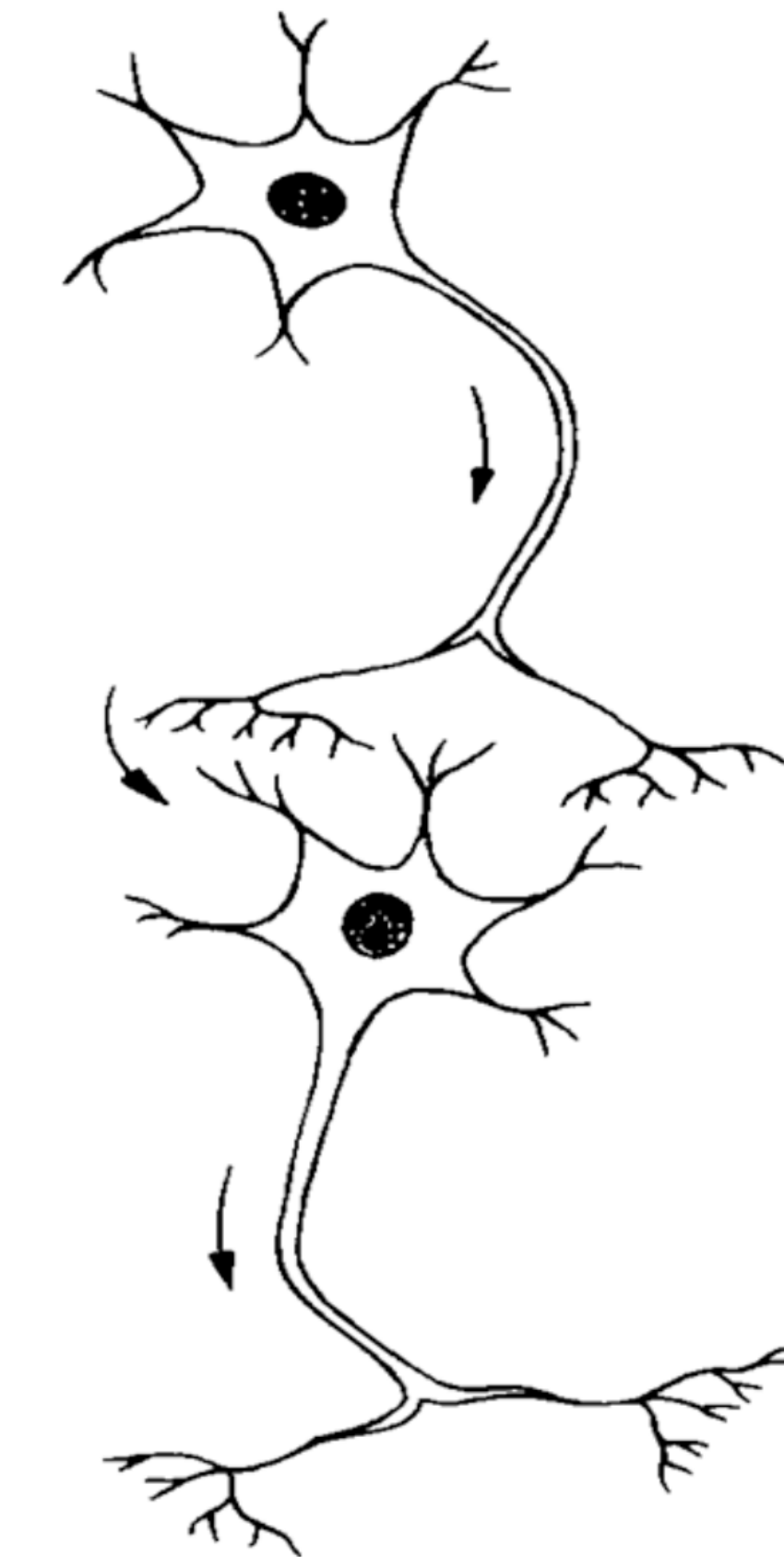
6.3.1 神经元与感知机

- 神经元 (neuron)
 - 神经元之间通过突触两两相连。
 - 轴突记录了神经元间联系的强弱。
 - 只有达到一定的兴奋程度，神经元才向外界传输信息。
 - 每个神经元可抽象成一个激励函数 (非线性处理)。



6.3.1 神经元与感知机

- 神经元的基本工作机制
 - 一个神经元有两种状态—兴奋和抑制
 - 平时处于抑制状态的神经元，当接收到其它神经元经由突触传来的冲击信号时，多个输入在神经元中以代数和的方式叠加。
 - 进入突触的信号会被加权，起兴奋作用的信号为正，起抑制作用的信号为负。
 - 如果叠加总量超过某个阈值，神经元就会被激发进入兴奋状态，发出输出脉冲，并由轴突的突触传递给其它神经元。

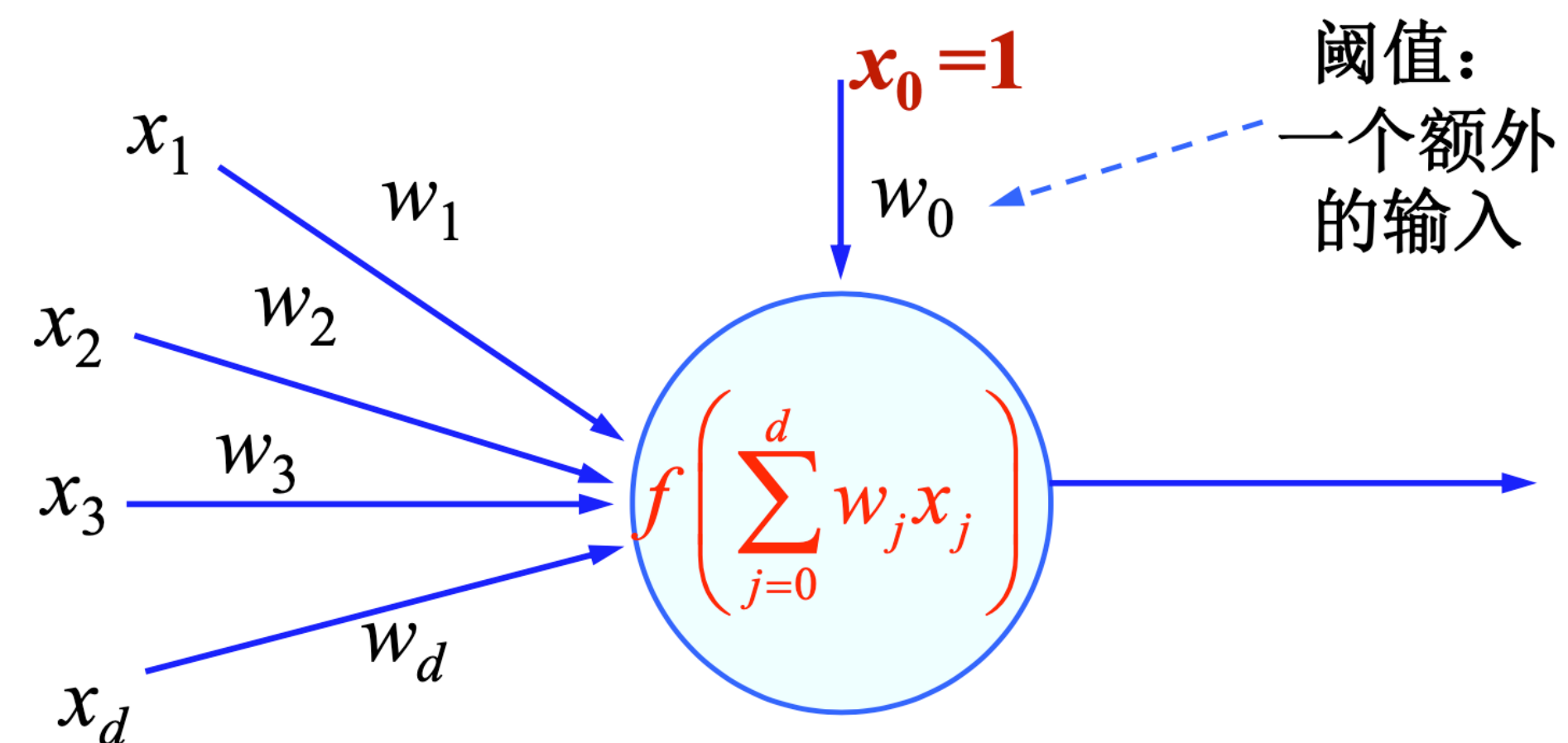
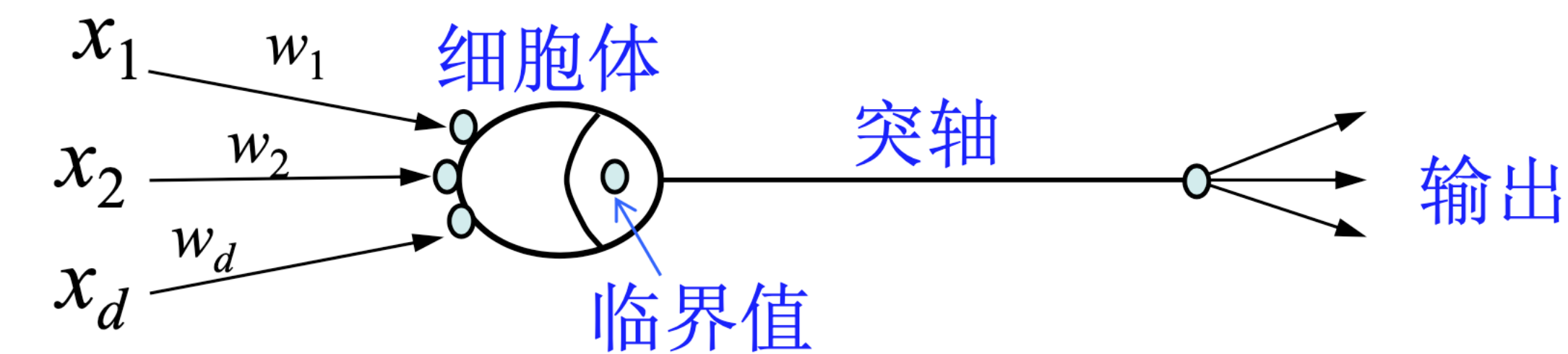
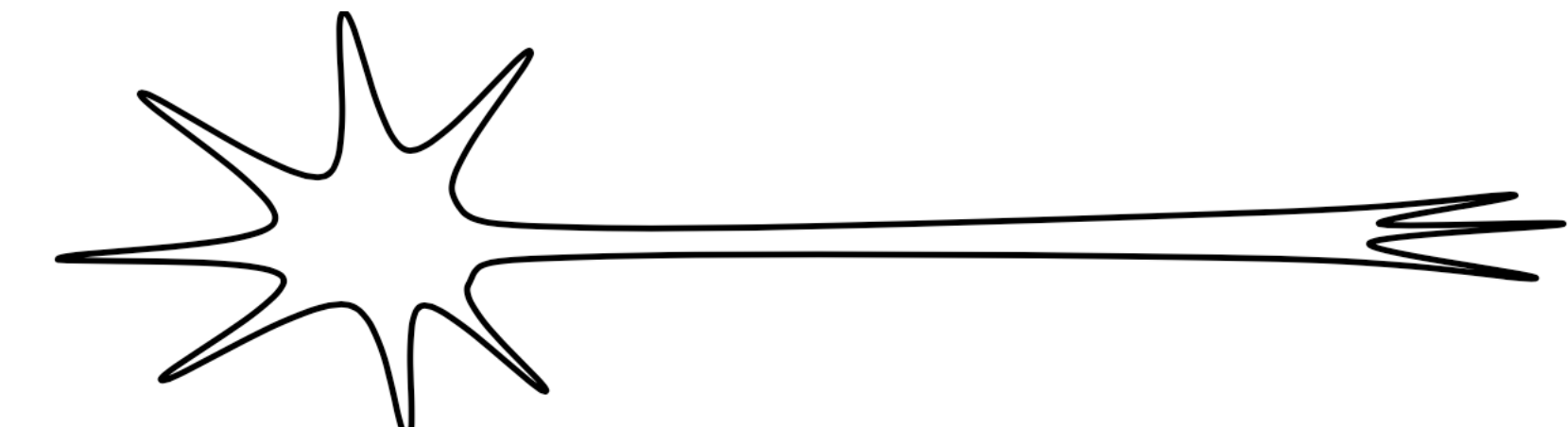


神经元间的信号通过突触传递。

6.3.1 神经元与感知机

- 人工神经网络处理单元

- 对每个输入信号进行加权处理(确定其强度);
- 确定所有输入信号的组合效果(求和);
- 确定其输出(转移特性, 即激励特性)。



三功能
加权
求和
激励

x : 收到信号 w : 信号的权重 $f(\cdot)$: 激励函数

6.3.1 神经元与感知机

- 激励函数 $f(\cdot)$

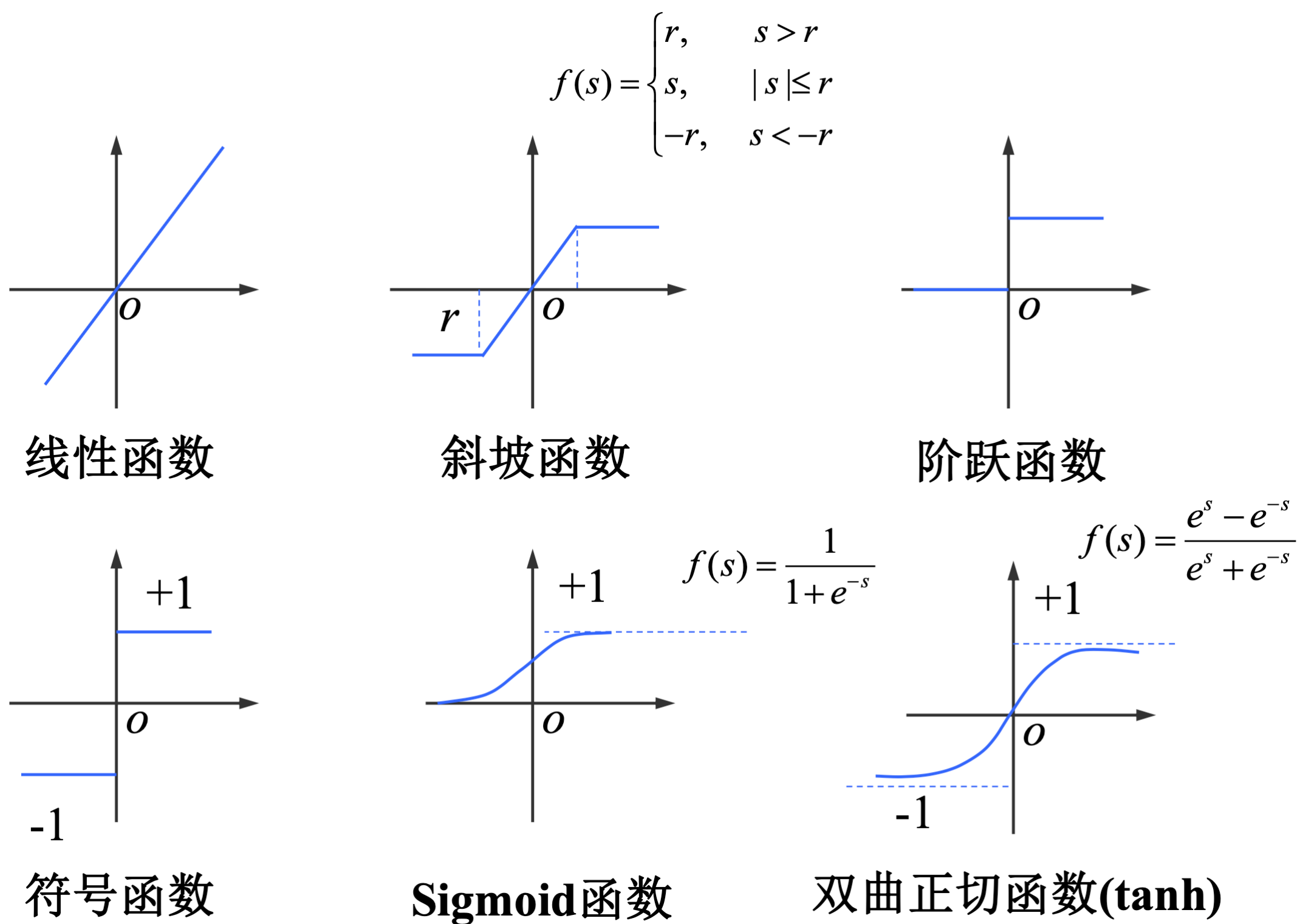
- 也称转移函数、传输函数或限幅函数。其作用是将可能的无限域变换到指定的有限范围内进行输出(类似于生物神经元的非线性转移特性)。

- 常用激励函数

- Sigmoid函数

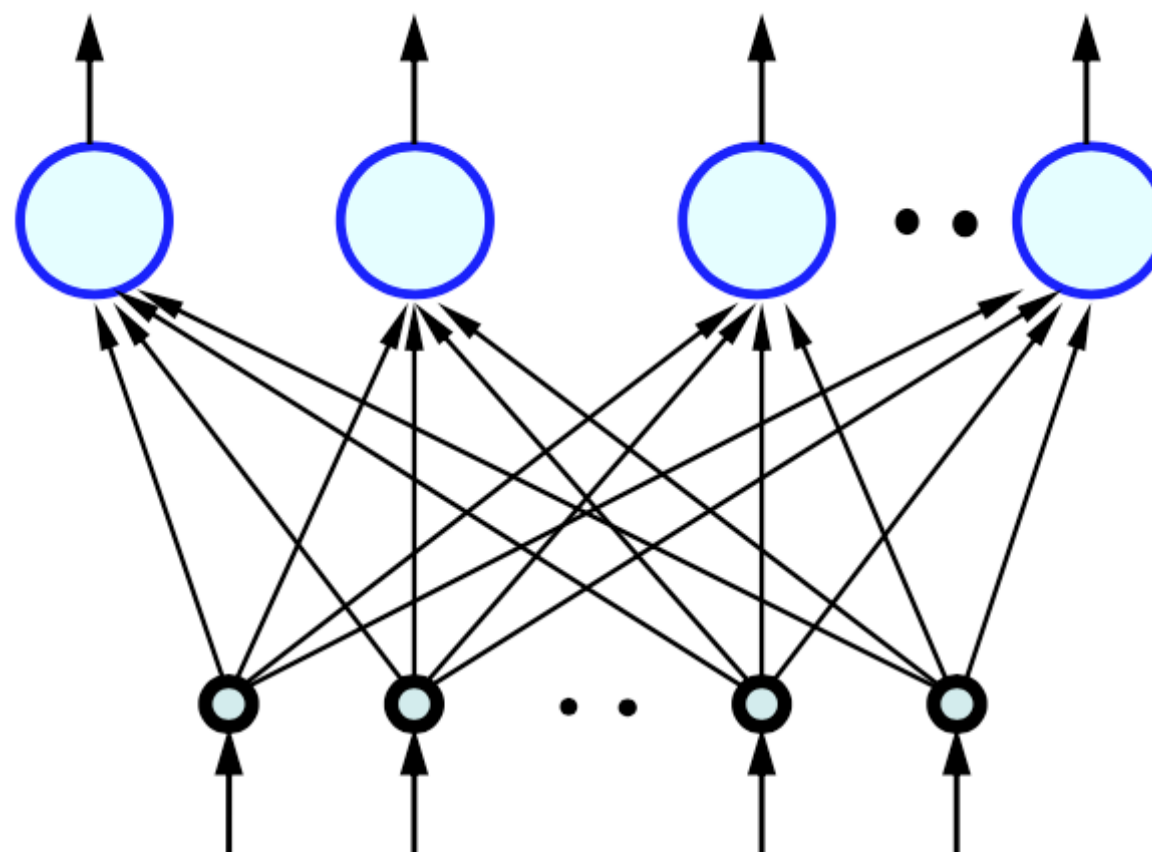
- 符号函数

- ...

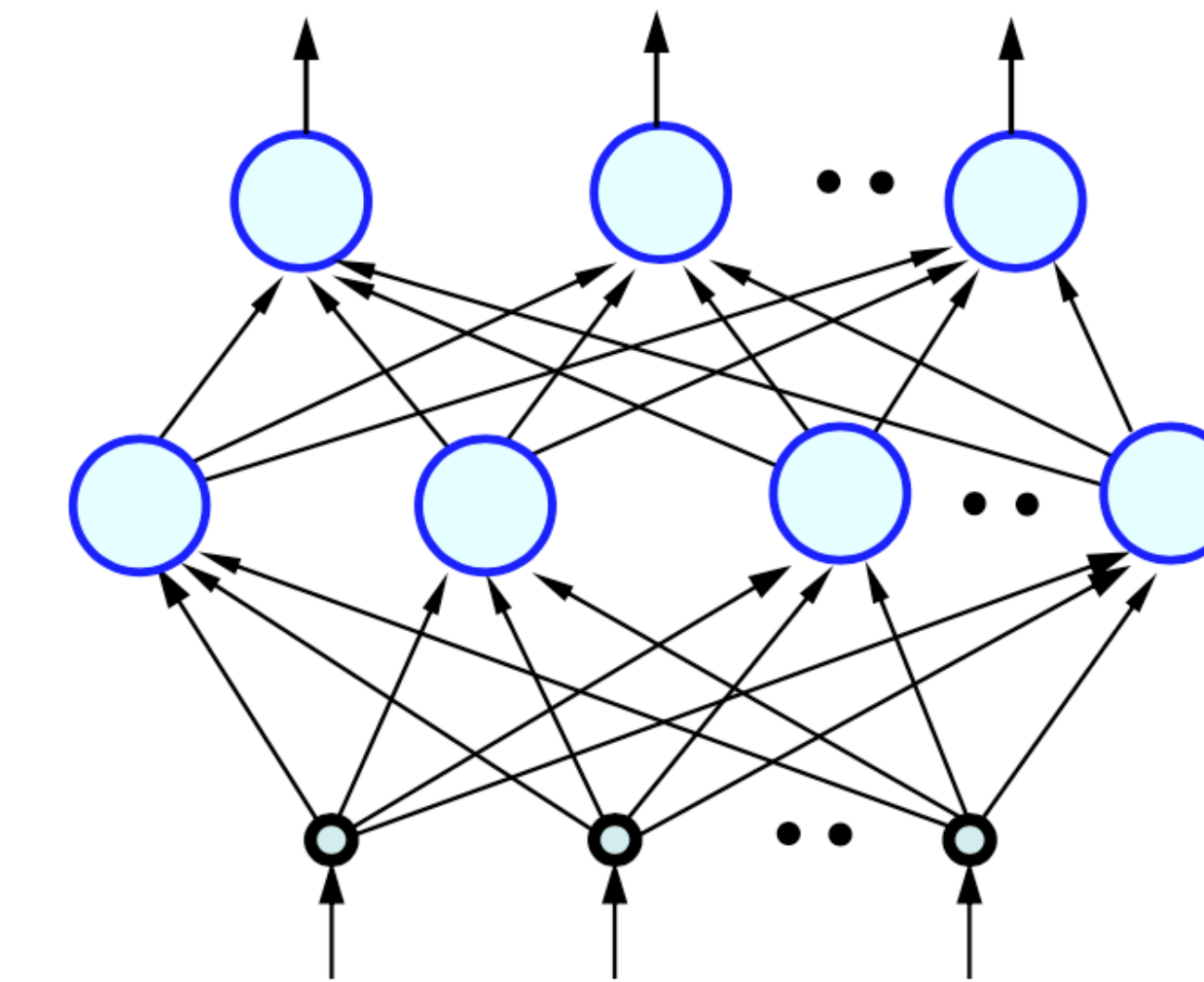


6.3.1 神经元与感知机

- 拓扑结构
 - 前馈神经网络



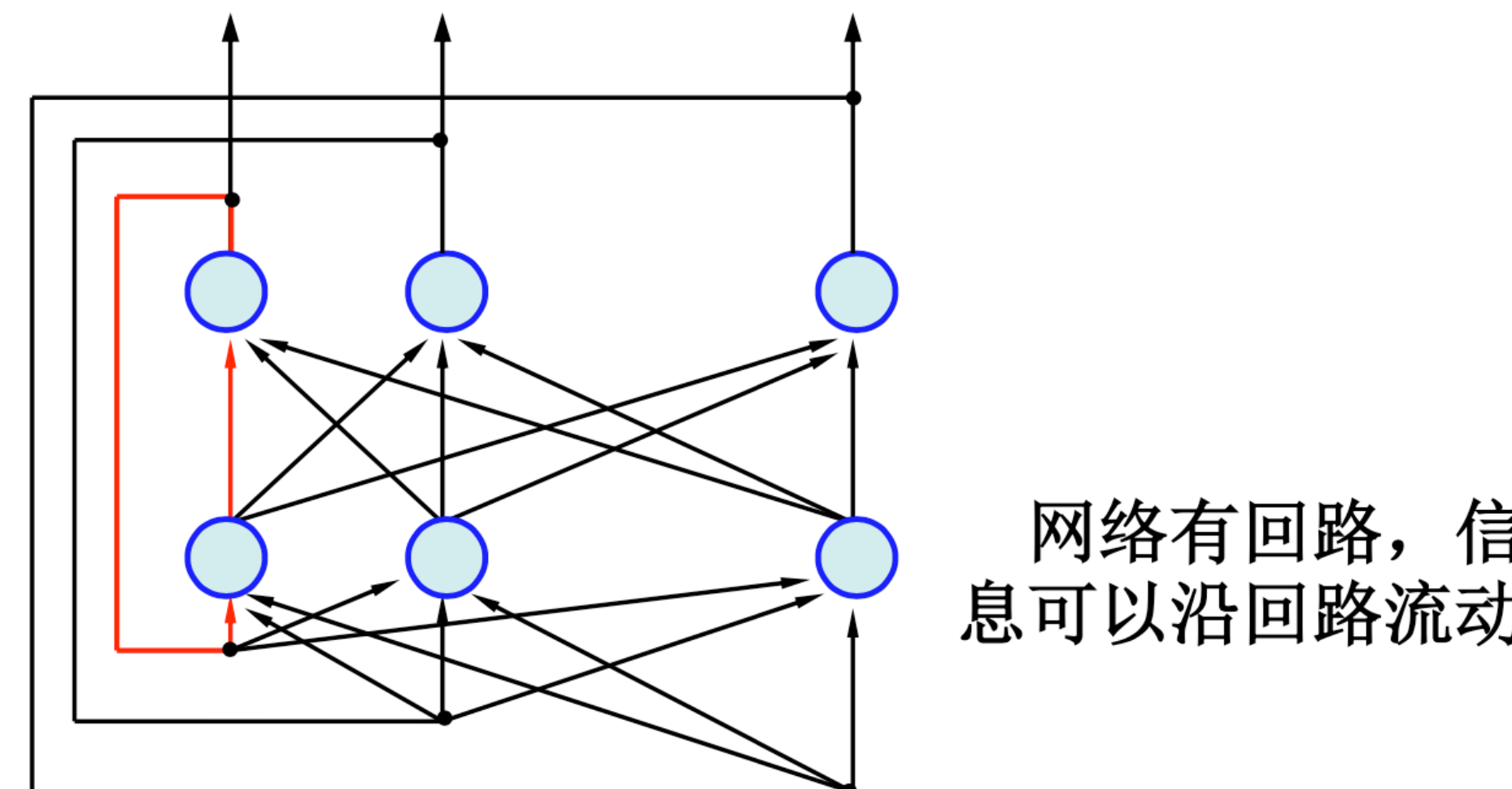
单层感知器



多层感知器

6.3.1 神经元与感知机

- 拓扑结构
 - 反馈神经网络

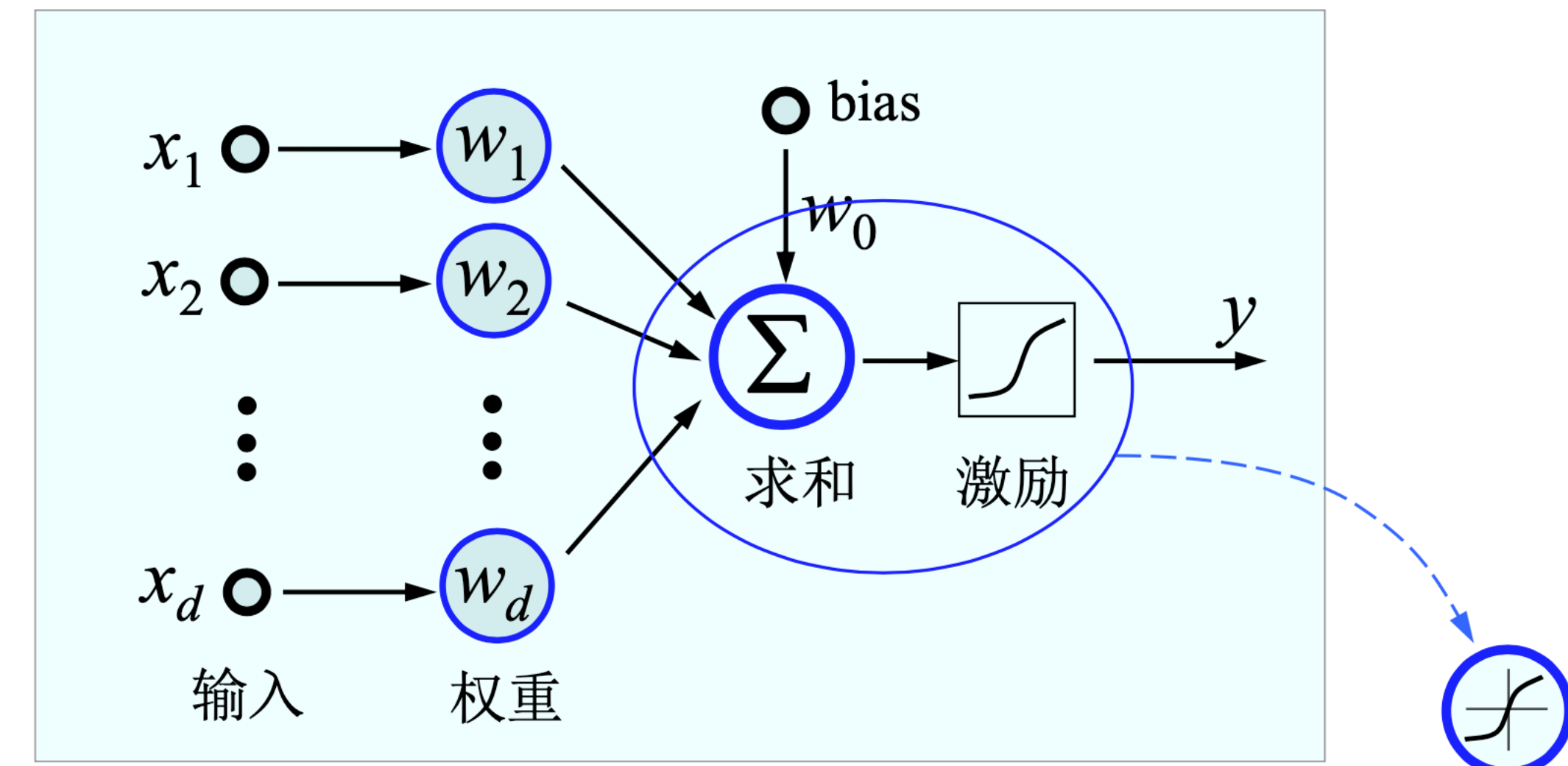


结点的输出：依赖于当前的输入，也依赖于自己以前的输出.

6.3.1 神经元与感知机

- 单层网络
 - McCulloch-Pitts Model (1943)
 - 阈值逻辑单元(Threshold Logic Unit, TLU)

$$y = \theta\left(\sum_{i=1}^n w_i x_i + w_0\right)$$



6.3.2 用多个感知器实现非线性分类

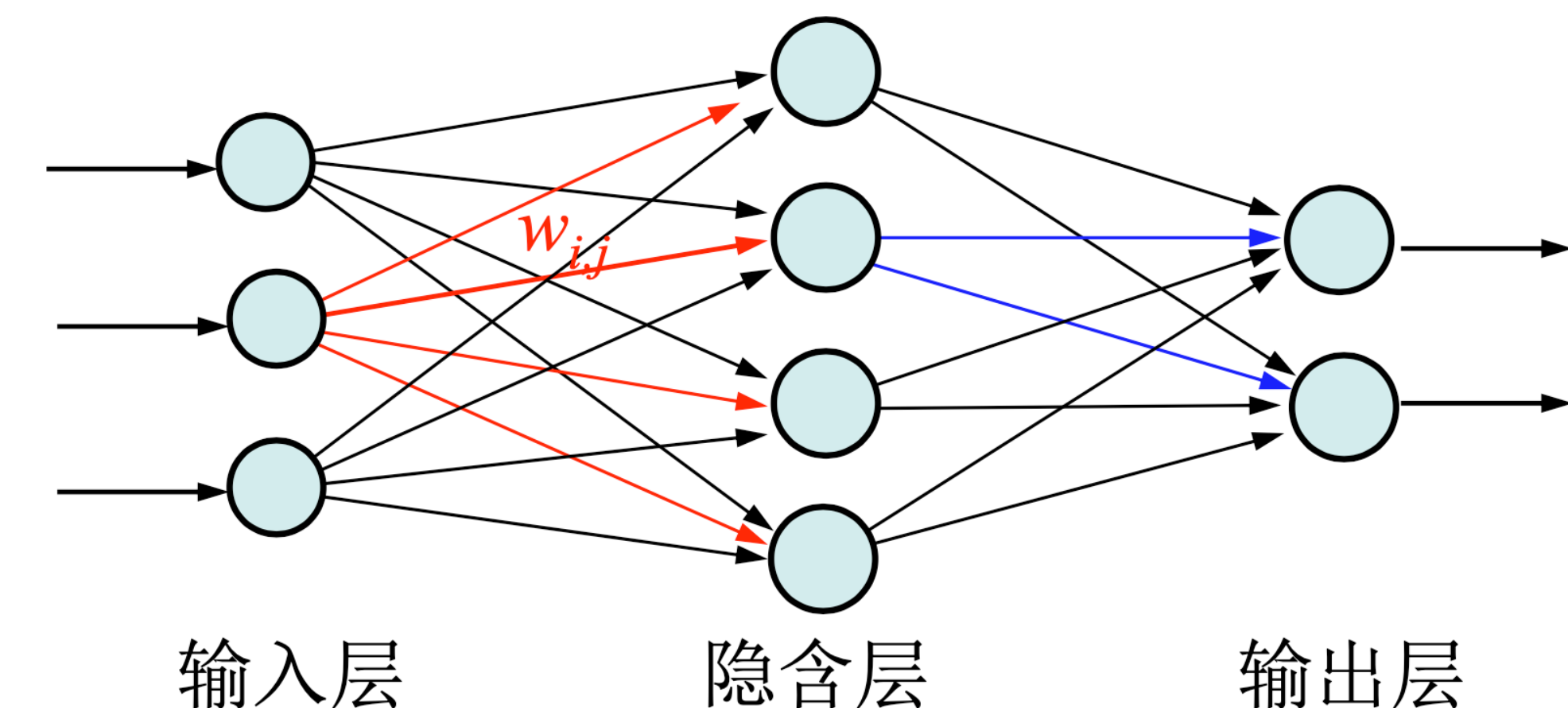
- 多层网络
 - 单个感知器神经元无法解决非线性问题；多个神经元分层组合实现复杂的空间形状分割
 - 虽然目前有很多网络模型，但它们的结点基本上都是按层排列的。这一点模仿了大脑皮层中的网络模块。
 - 多层网络是由单层网络进行级联构成的，即上一层的输出作为下一层的输入。

6.3.2 用多个感知器实现非线性分类

- 多层网络

- 对于任意复杂形状的分类区域，总可以用多个神经元组成一定的层次结构来实现分类

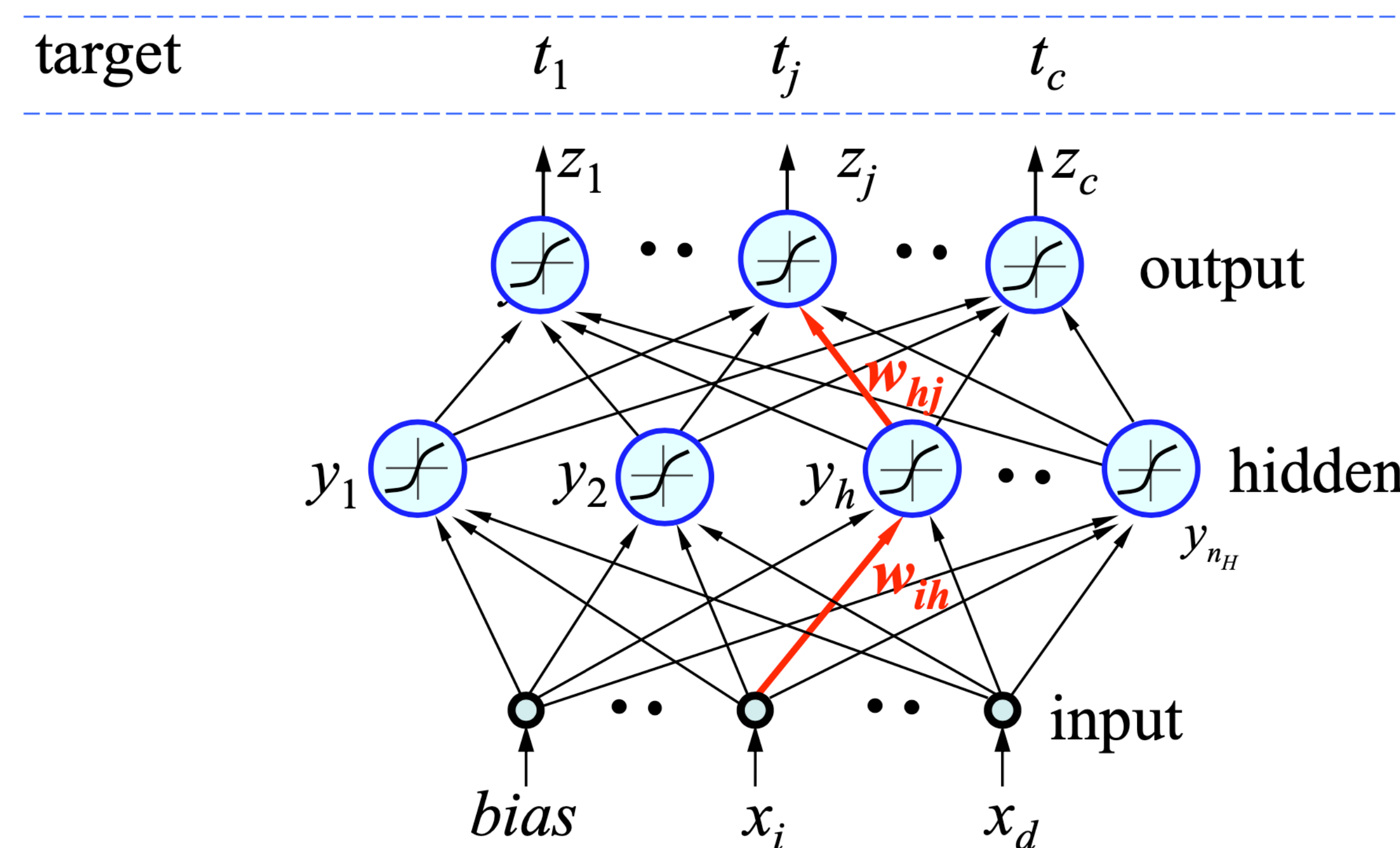
$$y = \theta \left\{ \sum_{j=1}^n v_j \theta \left(\sum_{i=1}^m w_{ij} x_i + w_{0j} \right) + v_0 \right\}$$



6.3.3 反向传播算法

- 多层感知器 (multi layer perceptron, MLP)
 - 是一种可普遍适用的非线性学习机器，能够实现任意复杂的函数映射

Hope: $z_1 \approx t_1, \dots, z_c \approx t_c$, for all samples: $J(\mathbf{w}) = \frac{1}{2} \sum_{j=1}^c (t_j - z_j)^2 \approx 0$



6.3.3 反向传播算法

- 网络描述-每个样本所经历的计算

上标 k 联系
第 k 个样本

对第 k 个样本，隐含层 h
结点的输入加权和为：

$$net_h^k = \sum_i w_{ih} x_i^k$$

经过激励，隐含
层 h 结点的输出：

$$y_h^k = f(net_h^k) = f\left(\sum_i w_{ih} x_i^k\right)$$

输出层 j 结点的
输入加权和为：

$$net_j^k = \sum_h w_{hj} y_h^k = \sum_h w_{hj} f\left(\sum_i w_{ih} x_i^k\right)$$

经过激励，
输出层 j 结
点的输出：

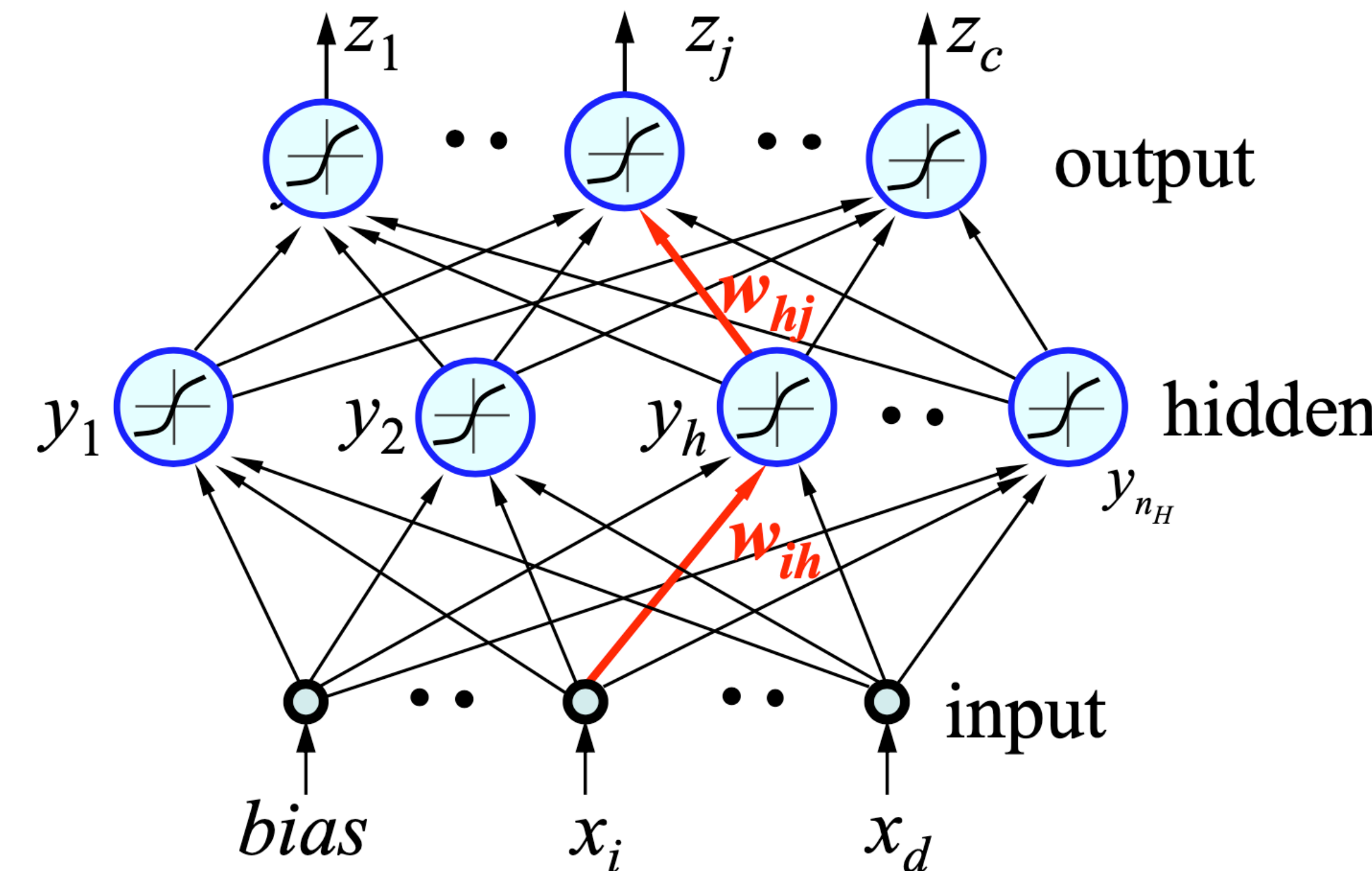
$$z_j^k = f(net_j^k) = f\left(\sum_h w_{hj} y_h^k\right) = f\left(\sum_h w_{hj} f\left(\sum_i w_{ih} x_i^k\right)\right)$$

6.3.3 反向传播算法

- 网络描述-每个样本所经历的计算

上标 k : 第 k 个样本

$$z_j^k = f\left(\sum_h w_{hj} y_h^k\right)$$
$$y_h^k = f\left(\sum_i w_{ih} x_i^k\right)$$



$$z_j^k = f(net_j^k) = f\left(\sum_h w_{hj} y_h^k\right) = f\left(\sum_h w_{hj} f\left(\sum_i w_{ih} x_i^k\right)\right)$$

6.3.3 反向传播算法

- 误差反向传播(BP)算法

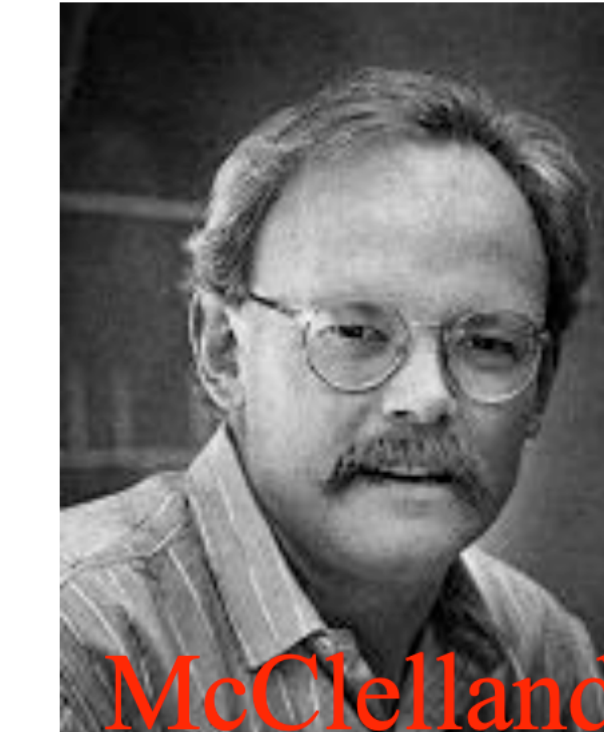
- D. Rumelhart, J. McClelland于1985年提出了误差反向传播 (Back Propagation, BP) 学习算法

- 基本原理

- › 利用输出后的误差来估计输出层的前一层的误差，再用这个误差估计更前一层的误差，如此一层一层地反传下去，从而获得所有其它各层的误差估计。



Rumelhart

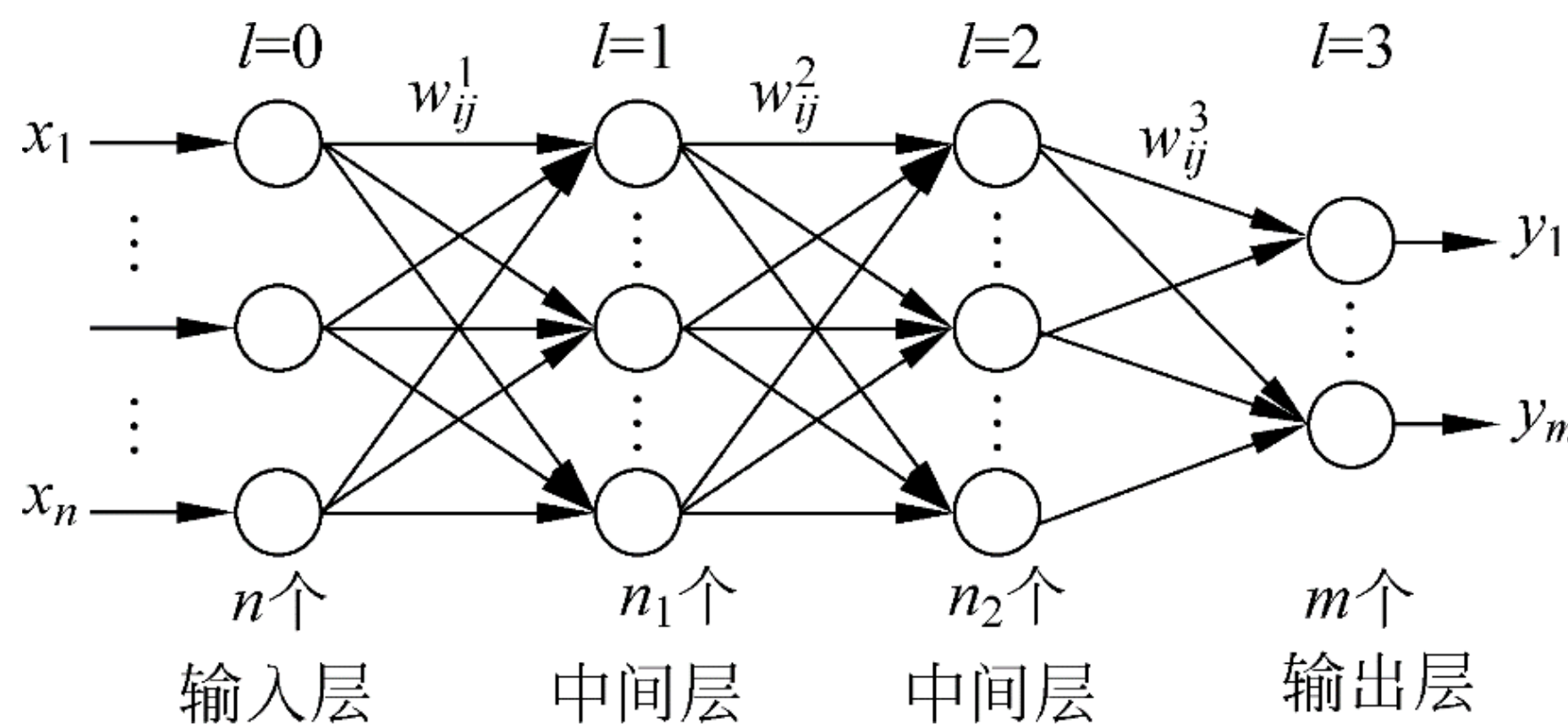


McClelland Visual Computing Group @ NJUST

6.3.3 反向传播算法

- BP算法

目标函数是均方误差，采用**梯度下降法**通过调整各层的权值求目标函数最小化



(1) 用小随机数进行权值初始化，设训练时间 $t = 0$

(2) 给出一个训练样本 $x = [x_1, \dots, x_n]^T \in R^n$ 和期望输出 $D = [d_1, \dots, d_m]^T \in R^m$

6.3.3 反向传播算法

- BP算法

(3) 计算在 x 输入下的实际输出 $y_r = f(\sum_{s=1}^{n_{L-2}} w_{sr}^{l=L-1} \dots f\left(\sum_{j=1}^{n_1} w_{jk}^{l=2} f(\sum_{i=1}^n w_{ij}^{l=1} x_i)\right))$, $r = 1, \dots, m$

(4) 从输出层开始调整权值

1) 第 l 层, 用下面的公式修正权值: $w_{ij}^l(t+1) = w_{ij}^l(t) + \Delta w_{ij}^l(t)$, $j = 1, \dots, n_l$, $i = 1, \dots, n_{l-1}$,
 $\Delta w_{ij}^l(t) = -\eta \delta_j^l x_i^l$, η 为学习步长

2) 输出层: $\delta_j^l = -y_j(1 - y_j)(d_j - y_j)$, $j = 1, \dots, m$

3) 对中间层: $\delta_j^l = x_j^l(1 - x_j^l) \sum_{k=1}^{n_{l+1}} \delta_k^{l+1} w_{jk}^{l+1}(t)$, $j = 1, \dots, n_l$

6.3.3 反向传播算法

- **BP算法**

(5) 重新计算输出，考查误差指标。如达到终止条件则终止，否则置
 $t = t + 1$ ，返回(2)

注意，上述BP算法是针对sigmoid传递函数：

$$f(\alpha) = 1/(1 + e^{-\alpha})$$

$$f'(\alpha) = f(\alpha)(1 - f(\alpha))$$

当改用其他传递函数时其梯度函数需要相应改变。

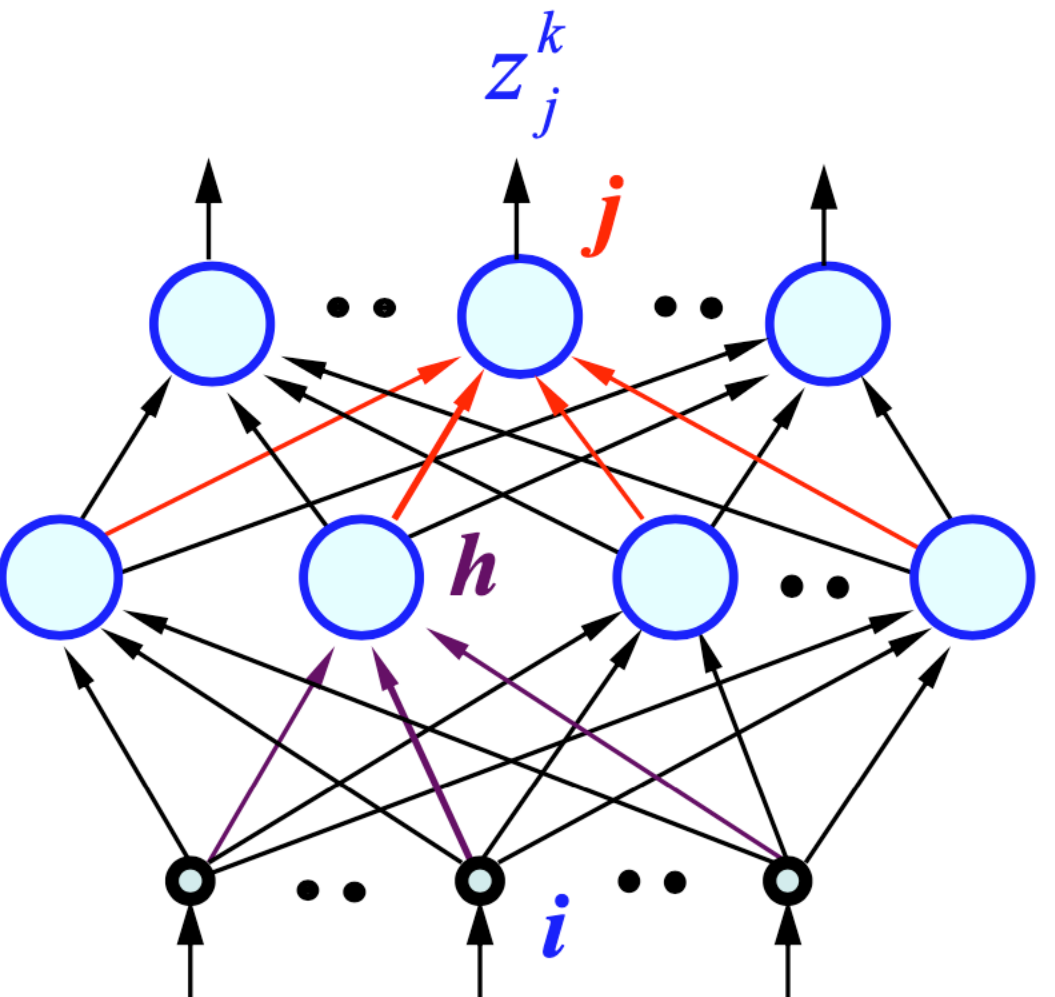
6.3.3 反向传播算法

- 误差反向传播训练算法
 - 属于监督学习算法，通过调节各层的权重，使网络学会由“输入-输出对”组成的训练组。
 - BP算法核心是梯度下降法。
 - 权重先从输出层开始修正，再依次修正各层权重
 - 首先修正：“输出层至最后一个隐含层”的连接权重
 - 再修正：“最后一个隐含层至倒数第二个隐含层”的连接权重，....
 - 最后修正：“第一隐含层至输入层”的连接权重。

学习的本质：对网络各连接权重作动态调整！

6.3.3 反向传播算法

- 误差函数—单个样本



$$\begin{aligned}z_j^k &= f(net_j^k) \\&= f\left(\sum_h w_{hj} y_h^k\right)\end{aligned}$$

$$\begin{aligned}y_h^k &= f(net_h^k) \\&= f\left(\sum_i w_{ih} x_i^k\right)\end{aligned}$$

上标 k 联系
第 k 个样本

$$\begin{aligned}E(\mathbf{w})^k &= J(\mathbf{w})^k = \frac{1}{2} \sum_j (t_j^k - z_j^k)^2 \\&= \frac{1}{2} \sum_j (t_j^k - f(net_j^k))^2 \\&= \frac{1}{2} \sum_j \left\{ t_j^k - f\left(\sum_h w_{hj} y_h^k\right) \right\}^2 \\&= \frac{1}{2} \sum_j \left\{ t_j^k - f\left(\sum_h w_{hj} f(net_h^k)\right) \right\}^2 \\&= \frac{1}{2} \sum_j \left\{ t_j^k - f\left(\sum_h w_{hj} f\left(\sum_i w_{ih} x_i^k\right)\right) \right\}^2\end{aligned}$$

6.3.3 反向传播算法

• 复合函数求导数

设 $f(x) = g_1(g_2(g_3(\dots g_n(x))))$,

令 $h_2 = g_2(g_3(\dots g_n(x)))$,

$h_3 = g_3(g_4(\dots g_n(x)))$, ...

$$\begin{aligned} & \frac{\partial f(x)}{\partial x} \\ &= \frac{\partial g_1(h_2)}{\partial h_2} \frac{\partial h_2}{\partial x} \\ &= \frac{\partial g_1(h_2)}{\partial h_2} \frac{\partial h_2(h_3)}{\partial h_3} \frac{\partial h_3}{\partial x} \\ &= \dots\dots \\ &= \frac{\partial g_1(h_2)}{\partial h_2} \frac{\partial h_2(h_3)}{\partial h_3} \dots \frac{\partial g_n(x)}{\partial x} \end{aligned}$$

设 $f(x) = g_1(g_2(g_3(\dots g_n(x))) + t_2(t_3(\dots t_m(y))))$,

令 $H_2 = g_2(g_3(\dots g_n(x))) + t_2(t_3(\dots t_m(y)))$,

$h_2 = g_2(g_3(\dots g_n(x)))$,

$h_3 = g_3(g_4(\dots g_n(x)))$, ...

$$\begin{aligned} \frac{\partial f(x)}{\partial x} &= \frac{\partial g_1(H_2)}{\partial H_2} \frac{\partial H_2}{\partial x} \\ &= \frac{\partial g_1(H_2)}{\partial H_2} \left(\frac{\partial h_2(h_3)}{\partial h_3} \frac{\partial h_3}{\partial x} + 0 \right) \\ &= \dots\dots \\ &= \frac{\partial g_1(H_2)}{\partial H_2} \frac{\partial h_2(h_3)}{\partial h_3} \dots \frac{\partial g_n(x)}{\partial x} \end{aligned}$$

6.3.3 反向传播算法

- 网络训练：隐含层—输出层

隐含层到输出层的连接权重调节量：

$$\Delta w_{hj} = -\eta \frac{\partial E}{\partial w_{hj}} = -\eta \sum_k \frac{\partial E}{\partial net_j^k} \frac{\partial net_j^k}{\partial w_{hj}}$$

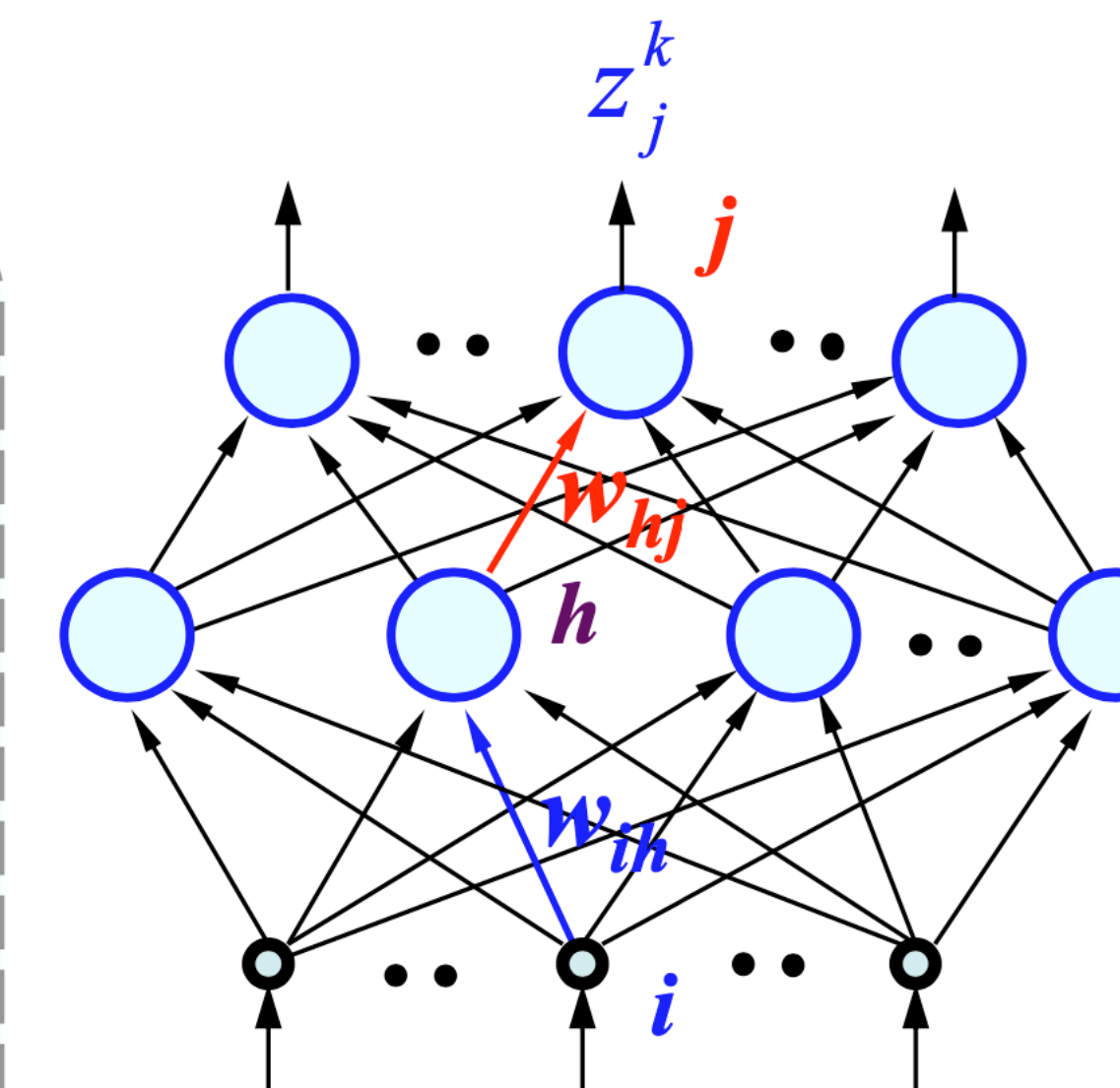
$$= \eta \sum_k (t_j^k - z_j^k) f'(net_j^k) y_h^k$$

$$= \eta \sum_k \delta_j^k y_h^k$$

(δ 规则)

$$\delta_j^k = \frac{\partial E}{\partial net_j^k} = f'(net_j^k)(t_j^k - z_j^k) = f'(net_j^k) \Delta_j^k,$$

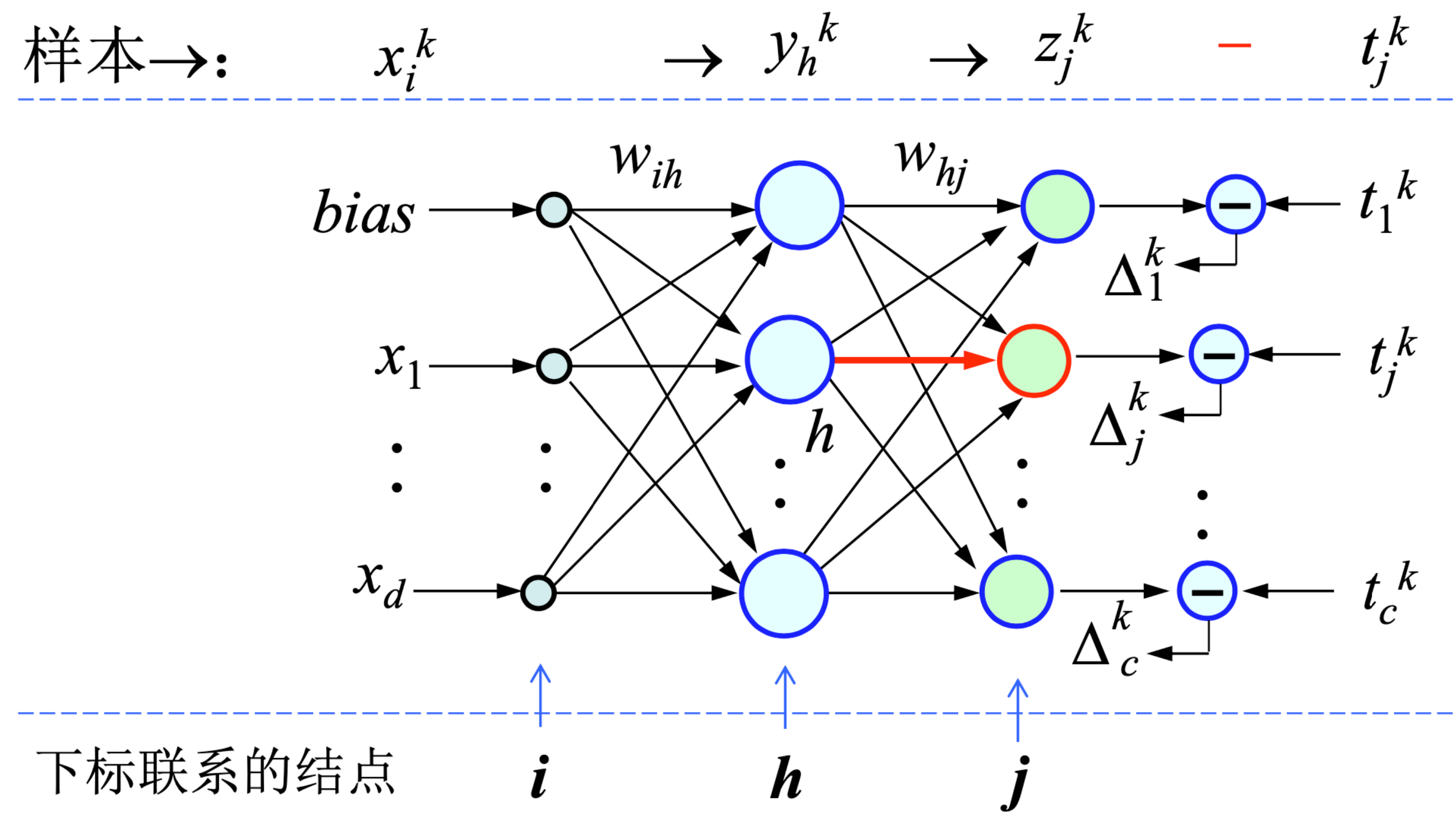
边的指向结点的误
差信号(局部梯度)



$$\Delta_j^k = t_j^k - z_j^k$$

6.3.3 反向传播算法

- 隐含层—输出层，准备好输出层的误差： $\Delta_j^k = t_j^k - z_j^k$



注：上标 k 联系第 k 个样本

6.3.3 反向传播算法

- 隐含层—输出层：第 k 个训练样本对权重 w_{hj} 的贡献

$h \rightarrow j$, for sample k :

δ 规则：

$$\Delta w_{hj} |_{\text{sample } k} = \eta \delta_j^k y_h^k$$

权重所联边的起始结点（隐含结点 h ）的输出

$$\delta_j^k = f'(net_j^k) \Delta_j^k, \quad \Delta_j^k = t_j^k - z_j^k$$

权重所联边的指向结点（输出结点 j ）收集到的误差信号

误差在权重所联边的指向结点处计算。

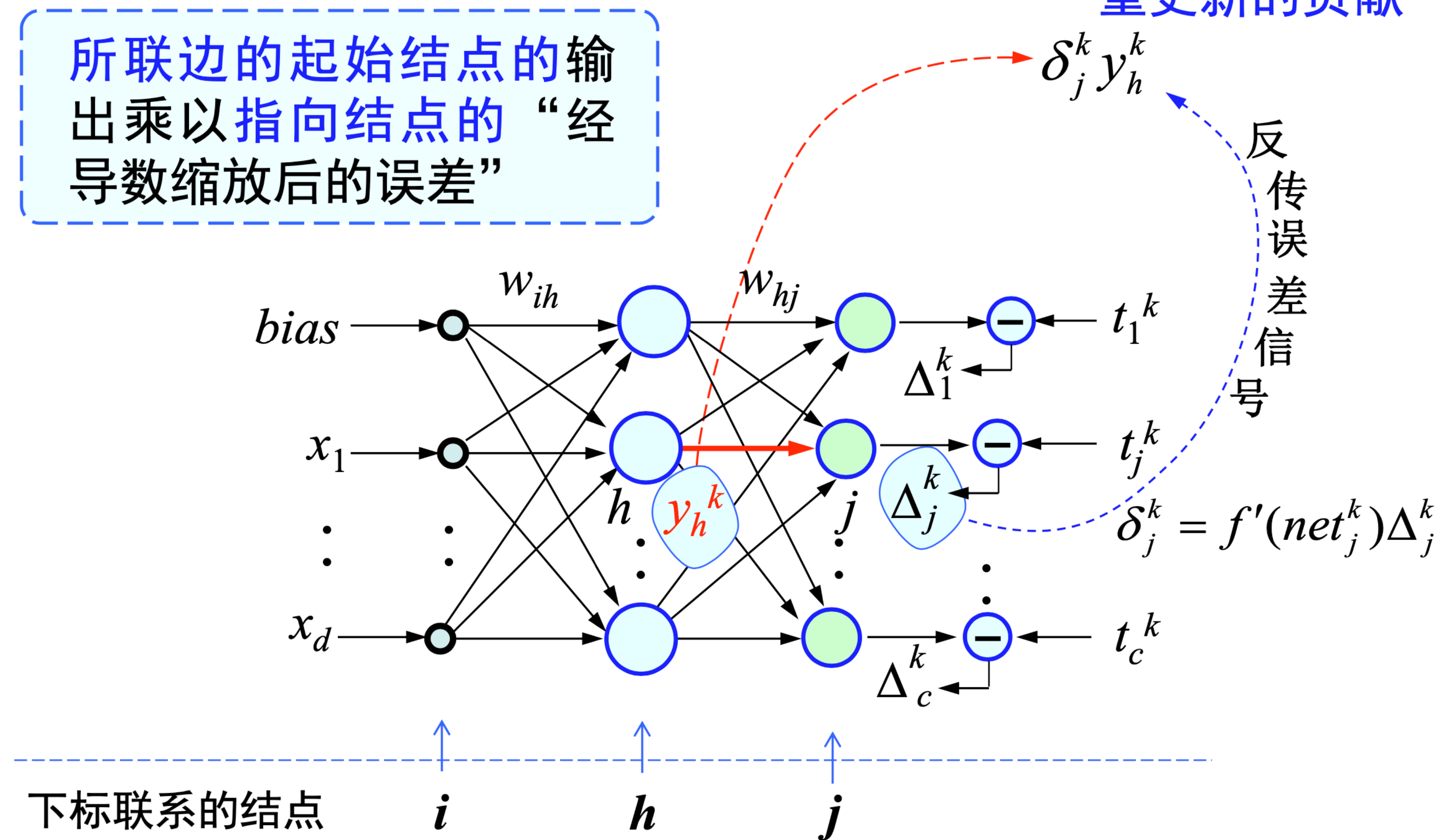
误差大小等于：该结点收集到的误差乘以激励函数对“该结点加权和”的导数。

6.3.3 反向传播算法

误差反传与权重更新：

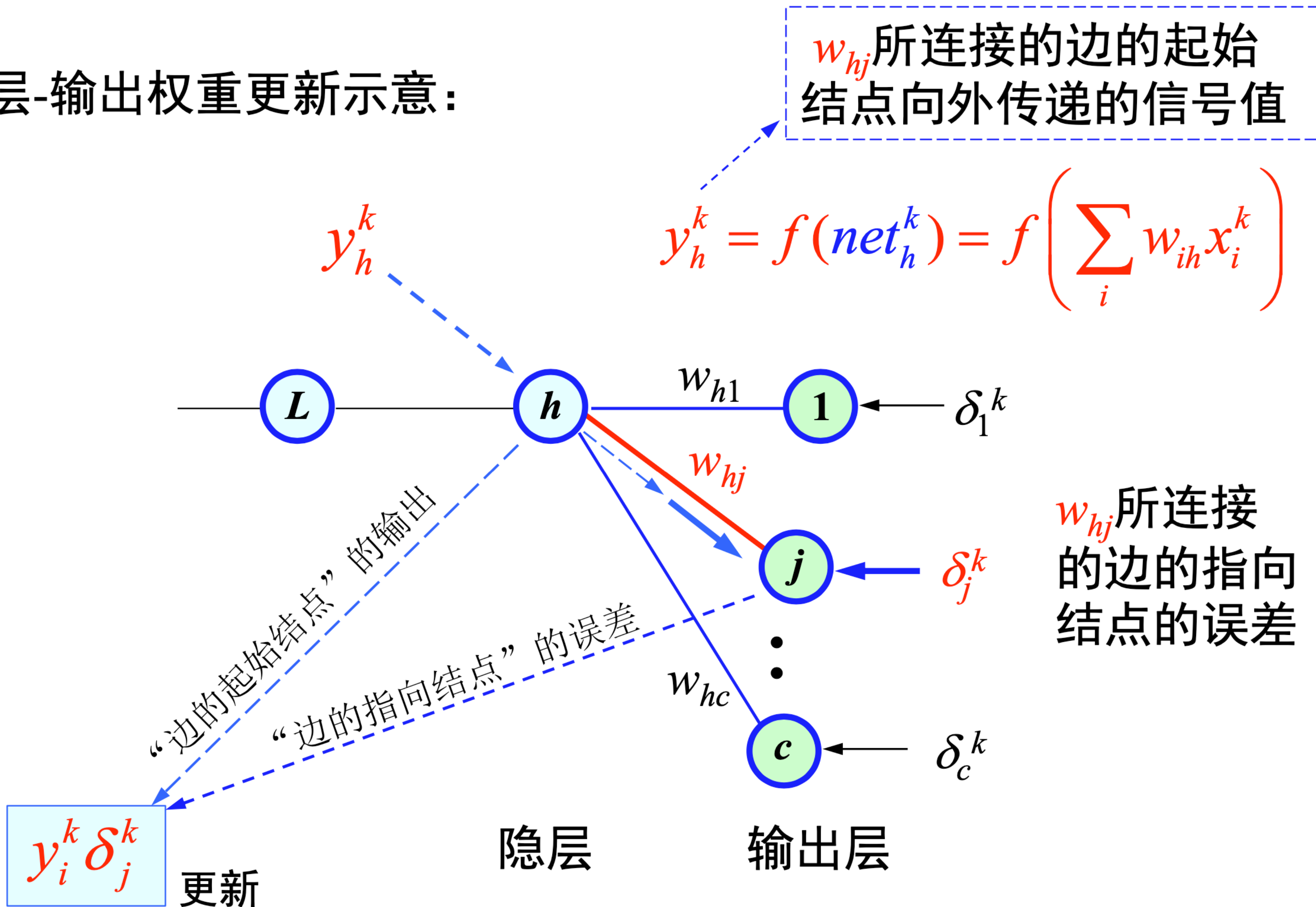
第 k 个样本对权
重更新的贡献

所联边的起始结点的输出乘以指向结点的“经
导数缩放后的误差”



6.3.3 反向传播算法

隐层-输出权重更新示意：



6.3.3 反向传播算法

- 激励函数采用sigmoid函数(最常用):

$$f(s) = \frac{1}{1 + e^{-s}}$$

$$f'(s) = \frac{e^{-s}}{(1 + e^{-s})^2} = \frac{1}{1 + e^{-s}} \left(1 - \frac{1}{1 + e^{-s}}\right) = z(1 - z), \quad z = f(s)$$

对输出层结点 j , 我们有:

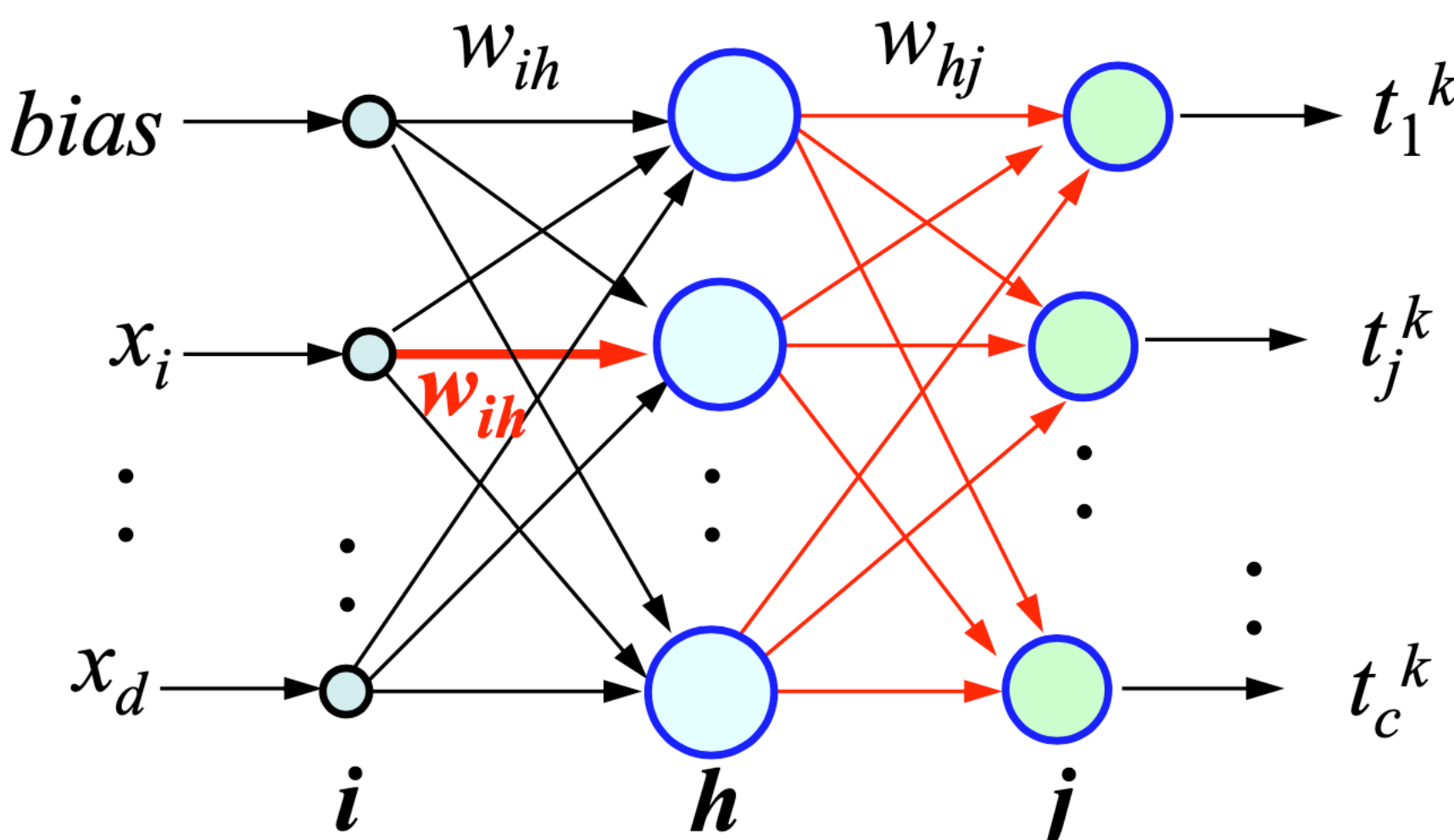
$$\delta_j^k = \frac{\partial E}{\partial net_j^k} = f'(\textcolor{blue}{net}_j^k)(t_j^k - z_j^k) = z_j^k (1 - z_j^k)(t_j^k - z_j^k)$$

6.3.3 反向传播算法

输入层至隐含层权重更新：

对于输入层到隐含层结点连接的边的权重修正量 Δw_{ih} ，必须考虑将 $E(\mathbf{w})$ 对 w_{ih} 求导，需利用分层链路法。

$$E(\mathbf{w}) = \sum_k J(\mathbf{w}) = \frac{1}{2} \sum_{k,j} (t_j^k - z_j^k)^2 = \frac{1}{2} \sum_{k,j} \left\{ t_j^k - f \left(\sum_h w_{hj} f \left(\sum_i w_{ih} x_i^k \right) \right) \right\}^2$$



样本 $\rightarrow:$ $x_i^k \rightarrow net_h^k \rightarrow y_h^k \rightarrow net_h^k \rightarrow z_j^k \rightarrow t_j^k$

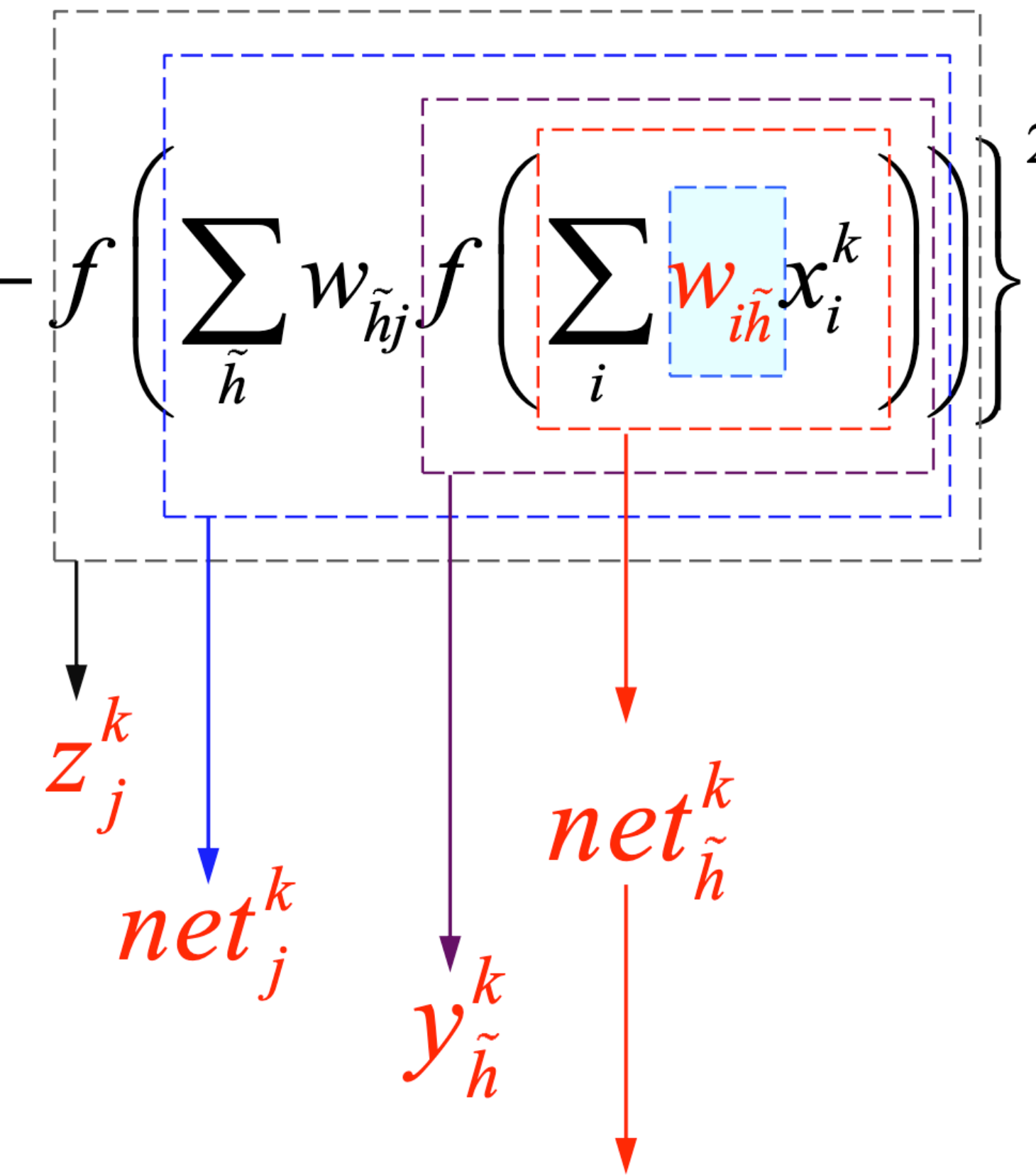
6.3.3 反向传播算法

输入层至隐含层权重更新:

用别名 \tilde{h} 代替 h

$$E(\mathbf{w}) = \frac{1}{2} \sum_{k,j} (t_j^k - z_j^k)^2 = \frac{1}{2} \sum_{k,j} \left\{ t_j^k - f \left(\sum_{\tilde{h}} w_{\tilde{h}j} f \left(\sum_i w_{i\tilde{h}} x_i^k \right) \right) \right\}^2$$

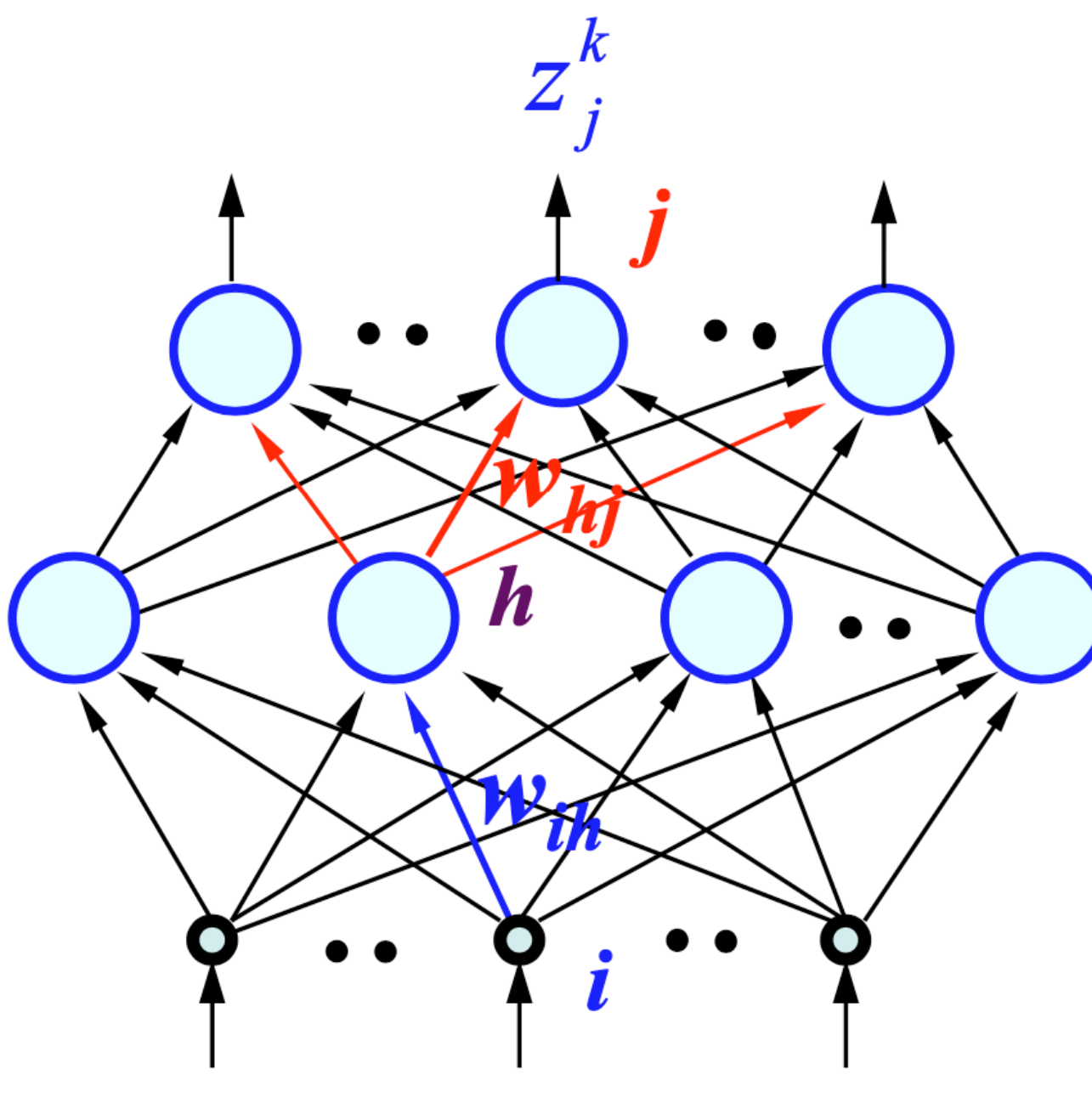
$$\begin{aligned} net_{\tilde{h}}^k &= \sum_i w_{i\tilde{h}} x_i^k, & y_{\tilde{h}}^k &= f(net_{\tilde{h}}^k) \\ net_j^k &= \sum_{\tilde{h}} w_{\tilde{h}j} y_{\tilde{h}}^k, & z_j^k &= f(net_j^k) \end{aligned}$$



包含权重 w_{ih}

6.3.3 反向传播算法

待更新权重 w_{ih} 的增量：



$$\begin{aligned}
 \Delta w_{ih} &= -\eta \frac{\partial E}{\partial w_{ih}} = -\eta \sum_{k,j} \frac{\partial E}{\partial z_j^k} \frac{\partial z_j^k}{\partial w_{ih}} \\
 &= -\eta \sum_{k,j} \frac{\partial E}{\partial z_j^k} \frac{\partial z_j^k}{\partial net_j^k} \frac{\partial net_j^k}{\partial w_{ih}} \\
 &= -\eta \sum_{k,j} \frac{\partial E}{\partial z_j^k} \frac{\partial z_j^k}{\partial net_j^k} \frac{\partial net_j^k}{\partial y_h^k} \frac{\partial y_h^k}{\partial w_{ih}} \\
 &= -\eta \sum_{k,j} \frac{\partial E}{\partial z_j^k} \frac{\partial z_j^k}{\partial net_j^k} \frac{\partial net_j^k}{\partial y_h^k} \frac{\partial y_h^k}{\partial net_h^k} \frac{\partial net_h^k}{\partial w_{ih}}
 \end{aligned}$$

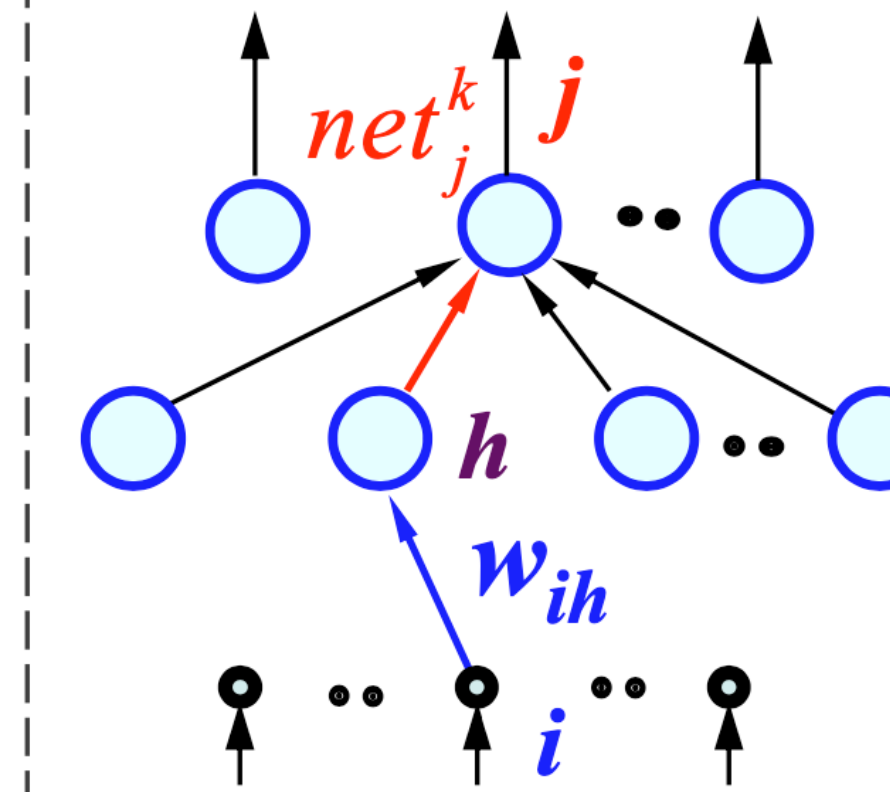
(链式法则)

$$= -\eta \sum_{k,j} \frac{\partial E}{\partial net_h^k} \frac{\partial net_h^k}{\partial w_{ih}}$$

6.3.3 反向传播算法

待更新权重的增量（具体化）

$$\begin{aligned}
 \Delta w_{ih} &= -\eta \frac{\partial E}{\partial w_{ih}} = -\eta \sum_{k,j} \frac{\partial E}{\partial z_j^k} \cdot \frac{\partial z_j^k}{\partial w_{ih}} \\
 &= \eta \sum_{k,j} (t_j^k - z_j^k) \frac{\partial z_j^k}{\partial w_{ih}} \\
 &= \eta \sum_{k,j} (t_j^k - z_j^k) \frac{\partial z_j^k}{\partial net_j^k} \boxed{\frac{\partial net_j^k}{\partial w_{ih}}} \\
 &= \eta \sum_{k,j} (t_j^k - z_j^k) f'(net_j^k) \boxed{\frac{\partial net_j^k}{\partial y_h^k} \frac{\partial y_h^k}{\partial w_{ih}}} \\
 &= \eta \sum_{k,j} (t_j^k - z_j^k) f'(net_j^k) w_{hj} \frac{\partial y_h^k}{\partial w_{ih}}
 \end{aligned}$$



$$\begin{aligned}
 net_j^k &= \sum_{\tilde{h}} w_{hj} y_{\tilde{h}}^k \\
 &\downarrow \\
 (\text{只有当 } \tilde{h} = h \text{ 时} \\
 y_h^k \text{ 才包含 } w_{ih})
 \end{aligned}$$

6.3.3 反向传播算法

(接前一页)

$$\Delta w_{ih} = \eta \sum_{k,j} (t_j^k - z_j^k) f'(net_j^k) w_{hj} \frac{\partial y_h^k}{\partial w_{ih}}$$

$$= \eta \sum_{k,j} (t_j^k - z_j^k) f'(net_j^k) w_{hj} \frac{\partial y_h^k}{\partial net_h^k} \frac{\partial net_h^k}{\partial w_{ih}}$$

$$= \eta \sum_{k,j} (t_j^k - z_j^k) f'(net_j^k) w_{hj} f'(net_h^k) x_i^k$$

$$= \eta \sum_{k,j} \delta_j^k w_{hj} f'(net_h^k) x_i^k$$

$$\delta_j^k = f'(net_j^k) (t_j^k - z_j^k)$$

$$= \eta \sum_k \left(f'(net_h^k) \sum_j \delta_j^k w_{hj} \right) x_i^k$$

$$= \eta \sum_k \delta_h^k x_i^k$$

$$\delta_h^k = \frac{\partial E}{\partial net_h^k} = f'(net_h^k) \sum_j w_{hj} \delta_j^k = f'(net_h^k) \Delta_h^k, \quad \Delta_h^k = \sum_j w_{hj} \delta_j^k$$

6.3.3 反向传播算法

输入-隐层：第 k 个训练样本对权重 w_{ih} 的贡献

$i \rightarrow h$, for sample k :

δ 规则：

$$\Delta w_{ih} |_{sample k} = \eta \delta_h^k x_i^k$$

w_{ih} 所连接的边的起始结点（输入层结点 i ）的输出（此时即为样本第 i 个分量）

w_{ih} 所连接的边的指向结点（隐含结点 h ）收集到的误差信号

6.3.3 反向传播算法

输入-隐层：第 k 个训练样本对权重 w_{ih} 的贡献

$$\delta_h^k = \frac{\partial E}{\partial net_h^k} = f'(net_h^k) \sum_j w_{hj} \delta_j^k$$

从前一层收集误差：加权和

误差在权重所联边的指向结点处计算。

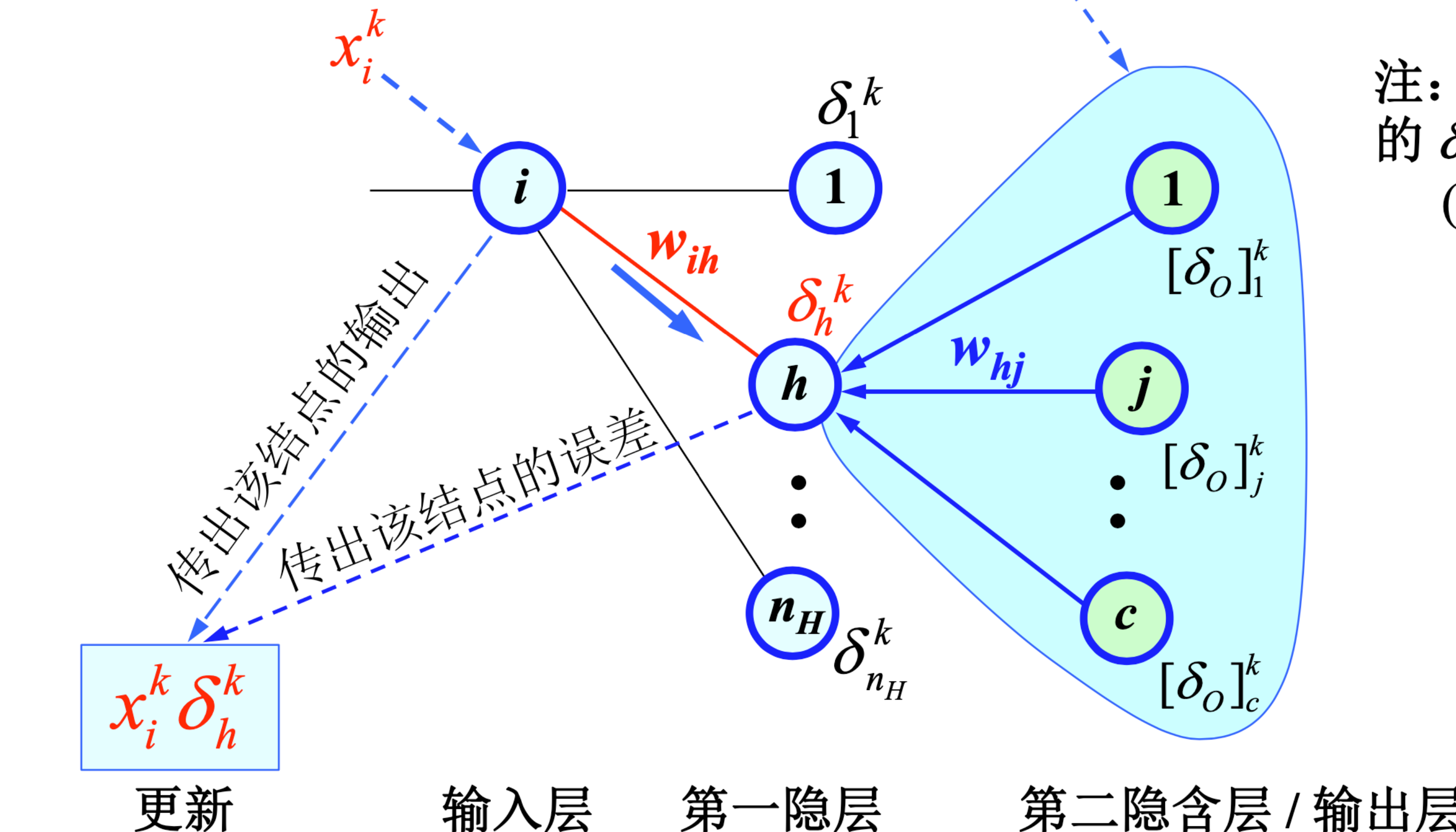
误差大小等于：该结点收集到的误差乘以
激励函数对“该结点加权和”的导数。

6.3.3 反向传播算法

输入—隐层权重更新示意:

$$\text{误差收集: } \delta_h^k = f'(net_h^k) \sum_j w_{hj} [\delta_o]^k_j$$

注: 已将上页中的 δ 更为 δ_o
(对输出层)



x_i^k : 边 $i-h$ 起点的输出, 即向外传递的信号值

6.3.3 反向传播算法

- 网络训练
 - BP算法对任意层的加权修正量的一般形式：

$$\Delta w_{in \rightarrow o} = \eta \sum_{all\ samples} \delta_o y_{in}$$

- 单个训练样本的贡献：

$$\Delta w_{in \rightarrow o} = \eta \cdot \delta_o \cdot y_{in} = \eta \cdot \left(\sum_h w_{o \rightarrow h} [\delta_o]_h \right) \cdot y_{in}$$

从后一层各结
点 h 收集误差

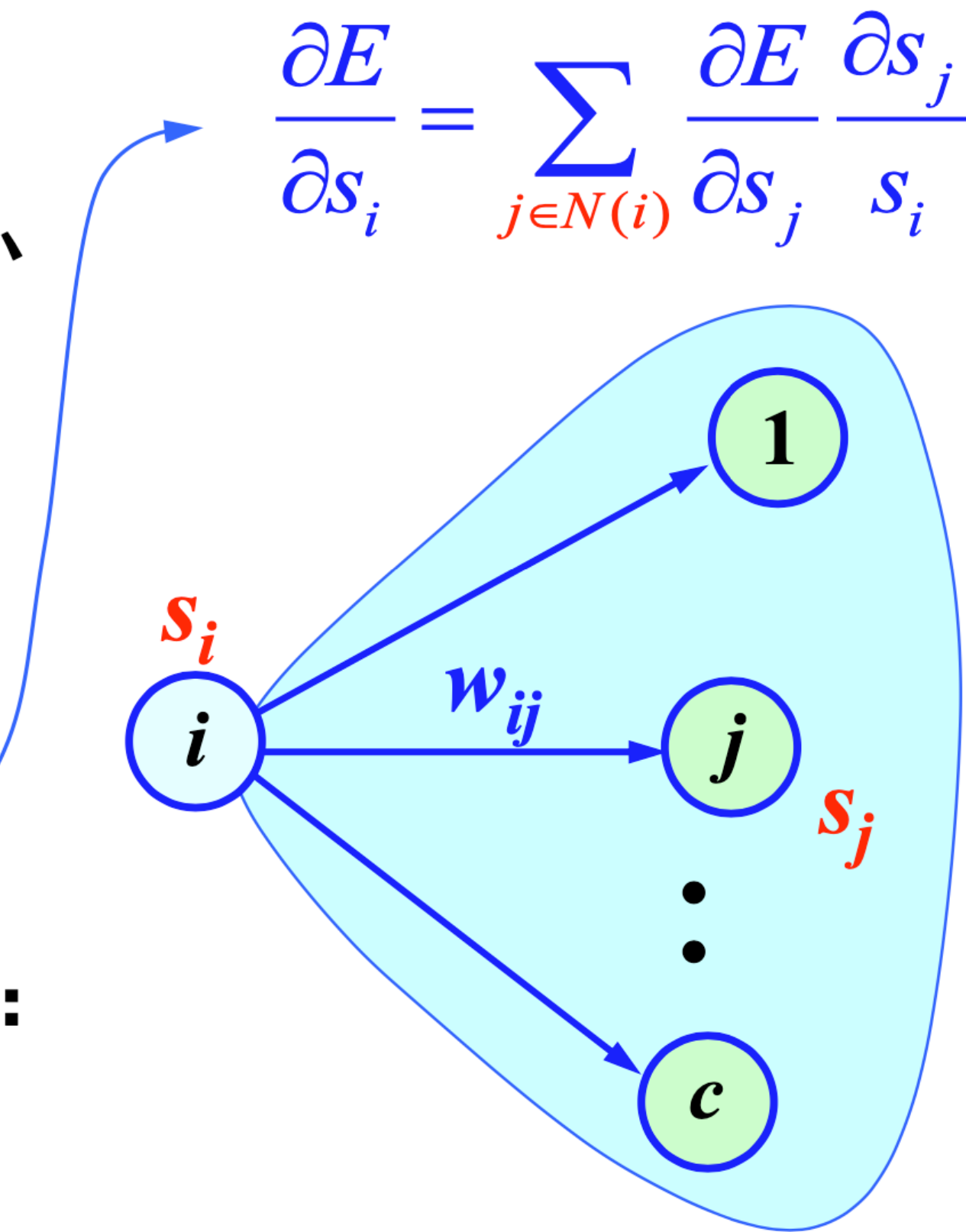
下标 in 和 o 分别指“待更新权重”所连边的起始结点和指向结点， y_{in} 代表起始结点的实际输出， δ_o 表示指向结点的误差（由后一层收集得到）。

6.3.3 反向传播算法

- 网络训练
 - 从更一般的角度来认识网络
 - 目标函数不是误差平方损失，比如交叉熵、softmax、hinge loss等，对于权重更新是否有上述同样的文字表述？
 - 目标函数对某一层结点 i 的输出 s_i 的梯度（见右上）。
 - 目标函数对权重的梯度(导数)：

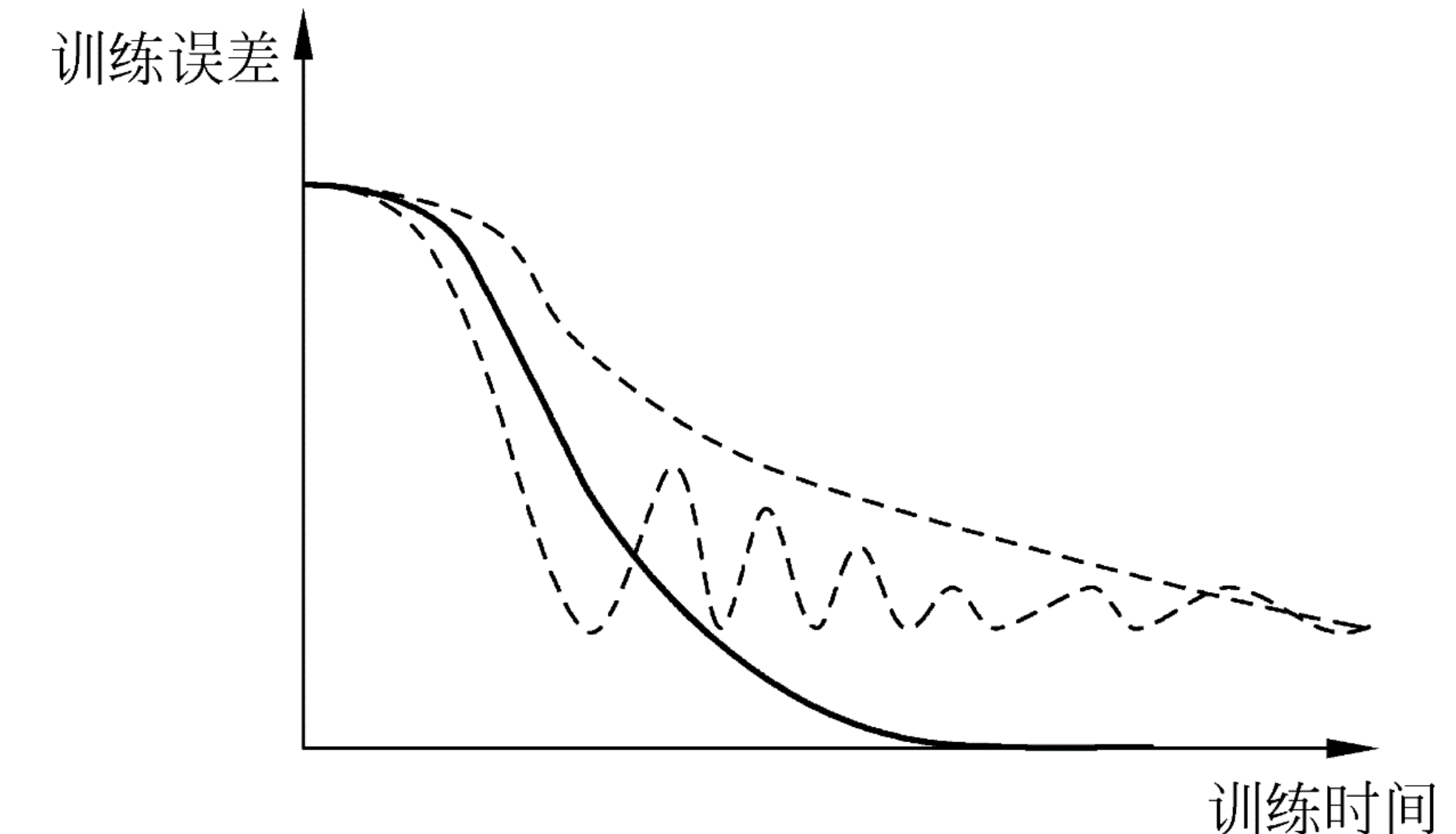
$$\nabla_{w_{ij}} E = \frac{\partial E}{\partial w_{ij}} = \frac{\partial E}{\partial s_j} \frac{\partial s_j}{\partial net_j} \frac{\partial net_j}{\partial w_{ij}}$$

$j \in \{$ 结点 i 指向的所有结点 $\}$



6.3.3 反向传播算法

- BP算法讨论
 - 准则/损失函数：平方差、交叉熵
 - 激励函数：非线性、连续可导、单调
 - 输入层、隐含层、输出层节点数
 - 初始权重
 - 学习率



6.4 支持向量机

- 线性支持向量机

- 分类超平面

- $\triangleright g(x) = (\omega \cdot x) + b = 0$

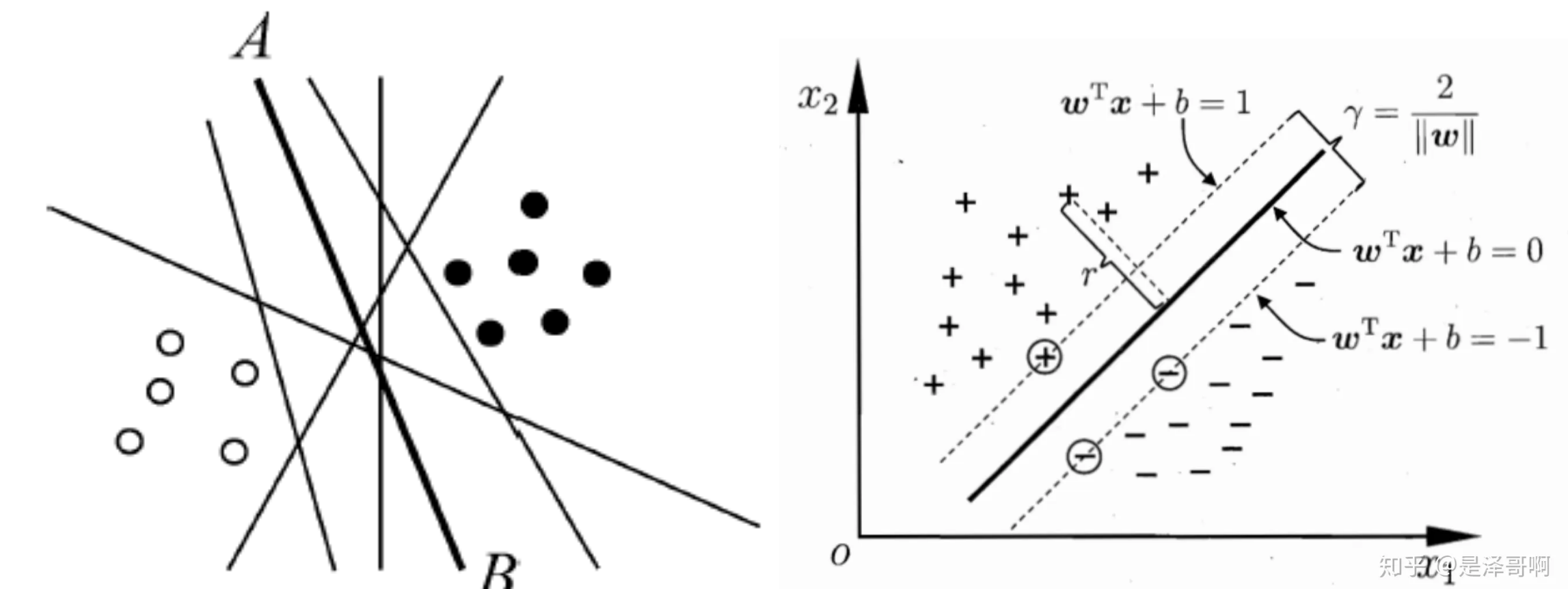
- \triangleright 点 x 到超平面的距离: $r = \frac{|\omega^\top x + b|}{\|\omega\|}$

- \triangleright 规范化的分类超平面: $\begin{cases} (\omega \cdot x_i) + b \geq 1, y_i = +1 \\ (\omega \cdot x_i) + b \leq -1, y_i = -1 \end{cases}$

- \triangleright 支持向量: 每个样本都是一个向量, 距离划分超平面最近的几个样本 (使得等号成立) 为支持向量

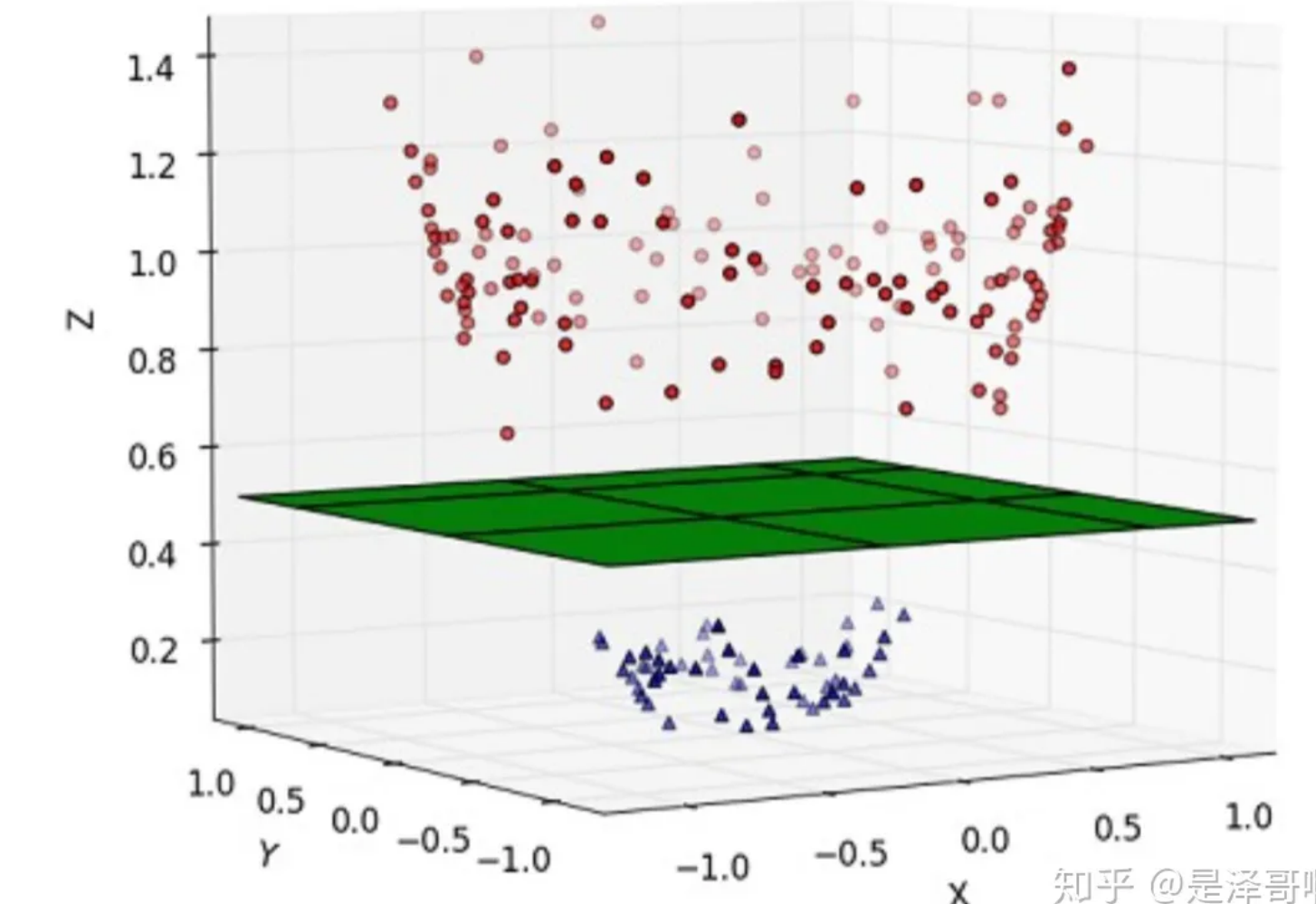
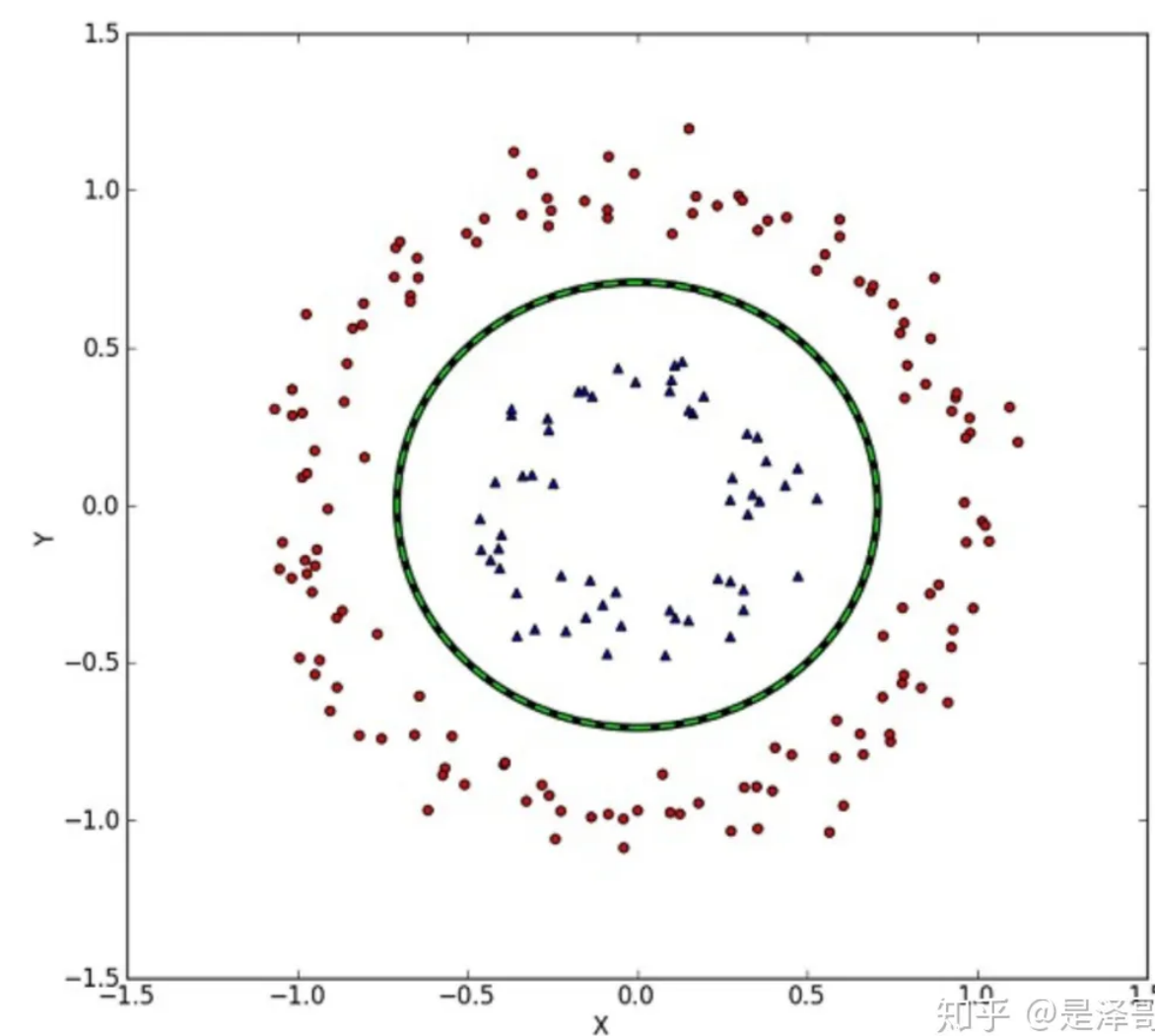
- 最优分类超平面

- \triangleright 一个分类超平面, 如果它能将训练样本没有错误地分开, 且两类训练样本中离超平面最近的样本与超平面之间的距离是最大的, 则这个超平面称作最优分类超平面



6.4 支持向量机

- 非线性支持向量机
 - 硬间隔和软间隔：样本完全线性可分、大部分样本线性可分时适用
 - 样本不是线性可分的情况如何处理



6.4.1 广义线性判别函数

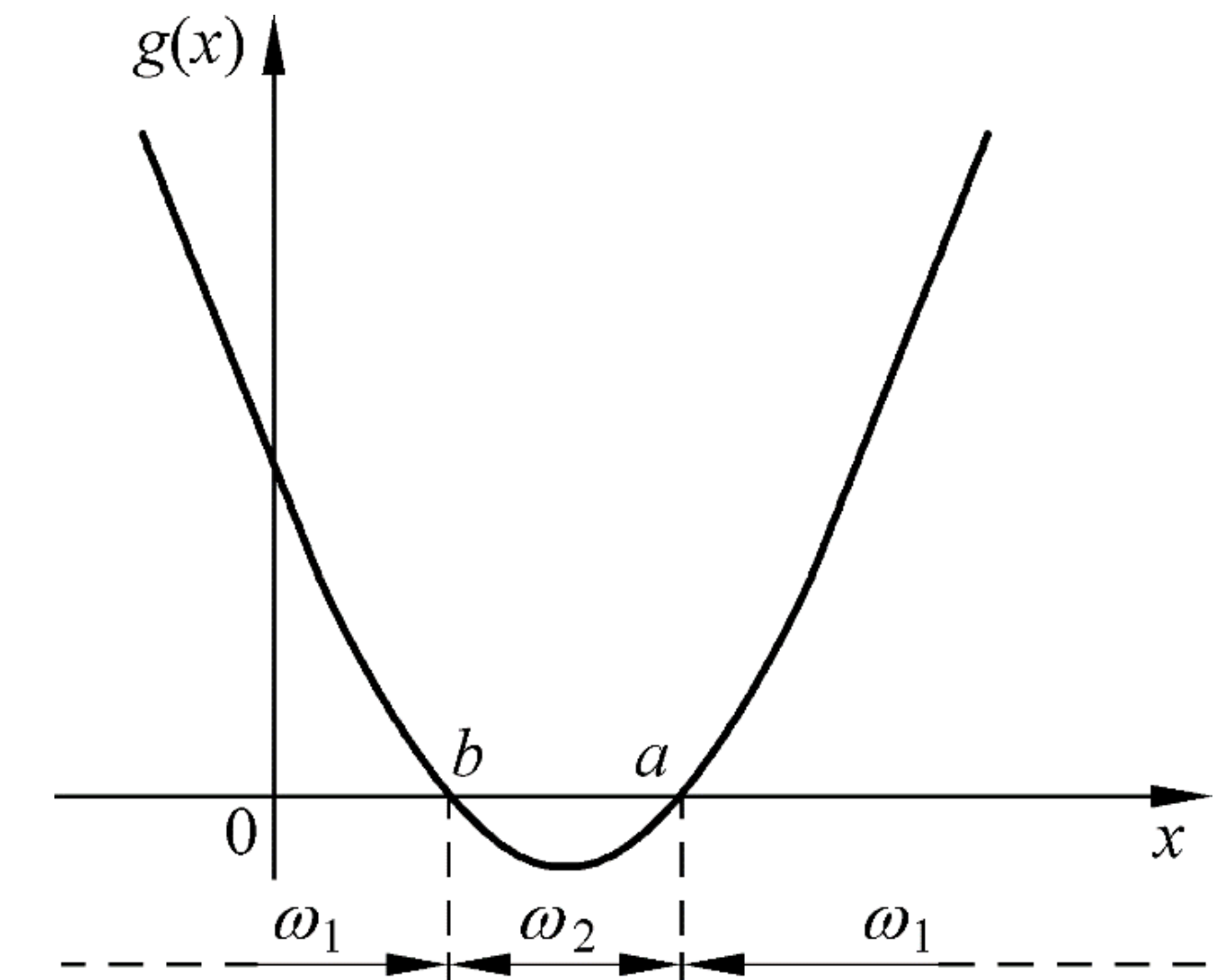
例：右图所示二分类问题。样本特征 x 是一维；决策规则：如果 $x < b$ 或 $x > a$ ，则 $x \in \omega_1$ ，如果 $b < x < a$ ，则 $x \in \omega_2$ 。

- 建立二次判别函数

$$g(x) = (x - a)(x - b)$$

- 决策规则

$$\text{若 } g(x) \geq 0, \text{ 则 } x \in \begin{cases} \omega_1 \\ \omega_2 \end{cases}$$



6.4.1 广义线性判别函数

- 二次判别函数的一般形式

$$g(x) = c_0 + c_1x + c_2x^2$$

- 转化为 y 的线性函数

$$g(x) = \mathbf{a}^T \mathbf{y} = \sum_{i=1}^s a_i y_i$$

其中, $\mathbf{y} = \begin{bmatrix} y_1 \\ y_2 \\ y_3 \end{bmatrix} = \begin{bmatrix} 1 \\ x \\ x^2 \end{bmatrix}$, $\mathbf{a} = \begin{bmatrix} a_1 \\ a_2 \\ a_3 \end{bmatrix} = \begin{bmatrix} c_0 \\ c_1 \\ c_2 \end{bmatrix}$, $g(x) = \mathbf{a}^T \mathbf{y}$ 称为关于 \mathbf{y} 的广义线性判别函数, \mathbf{a} 为广义权向量

- 通过低维向高维映射, 把非线性转换为线性; 维数大大增加, 会陷入“维数灾难”

$$g(x) = \mathbf{x}^T \mathbf{W} \mathbf{x} + \mathbf{w}^T \mathbf{x} + \omega_0 = \sum_{i=1}^d \omega_{ii} x_i^2 + 2 \sum_{j=1}^{d-1} \sum_{i=j+1}^d \omega_{ij} x_i x_j + \sum_{j=1}^d \omega_j x_j + \omega_0$$

6.4.2 核函数变换与支持向量机

- 支持向量机
 - 引入特征变换将非线性问题转化成线性问题

- 线性支持向量机的对偶问题

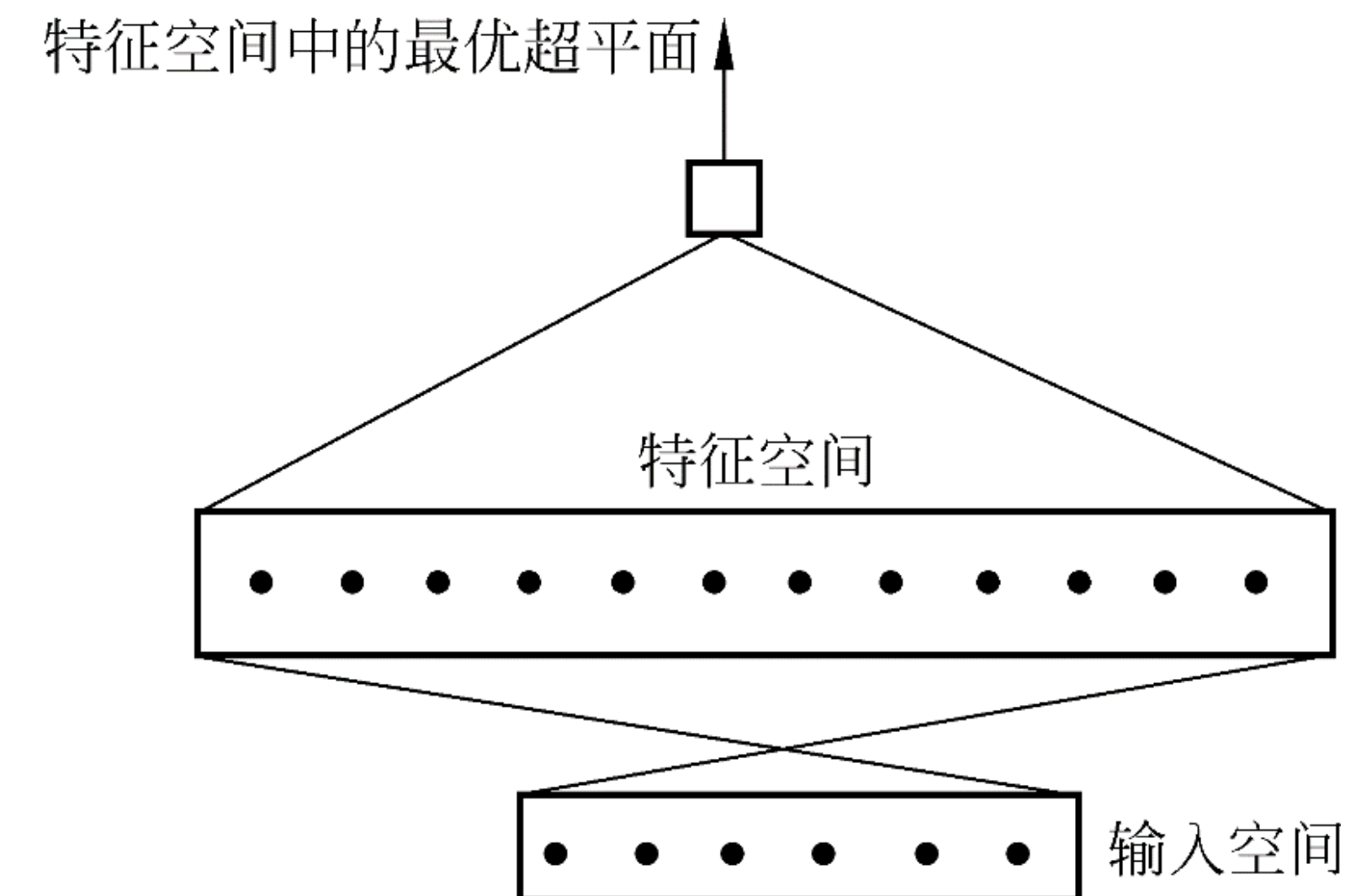
- 线性支持向量机的分类器

$$f(x) = \text{sgn}((\mathbf{w} \cdot \mathbf{x}) + b) = \text{sgn} \left(\sum_{i=1}^N \alpha_i y_i (\mathbf{x}_i \cdot \mathbf{x}) + b \right),$$

- α_i 为下列二次优化问题的解

$$\max Q(\boldsymbol{\alpha}) = \sum_{i=1}^N \alpha_i - \frac{1}{2} \sum_{i,j=1}^N \alpha_i \alpha_j y_i y_j (\mathbf{x}_i \cdot \mathbf{x}_j)$$

$$\text{s.t. } \sum_{i=1}^N y_i \alpha_i = 0, \quad 0 \leq \alpha_i \leq C, \quad i = 1, \dots, N$$



6.4.2 核函数变换与支持向量机

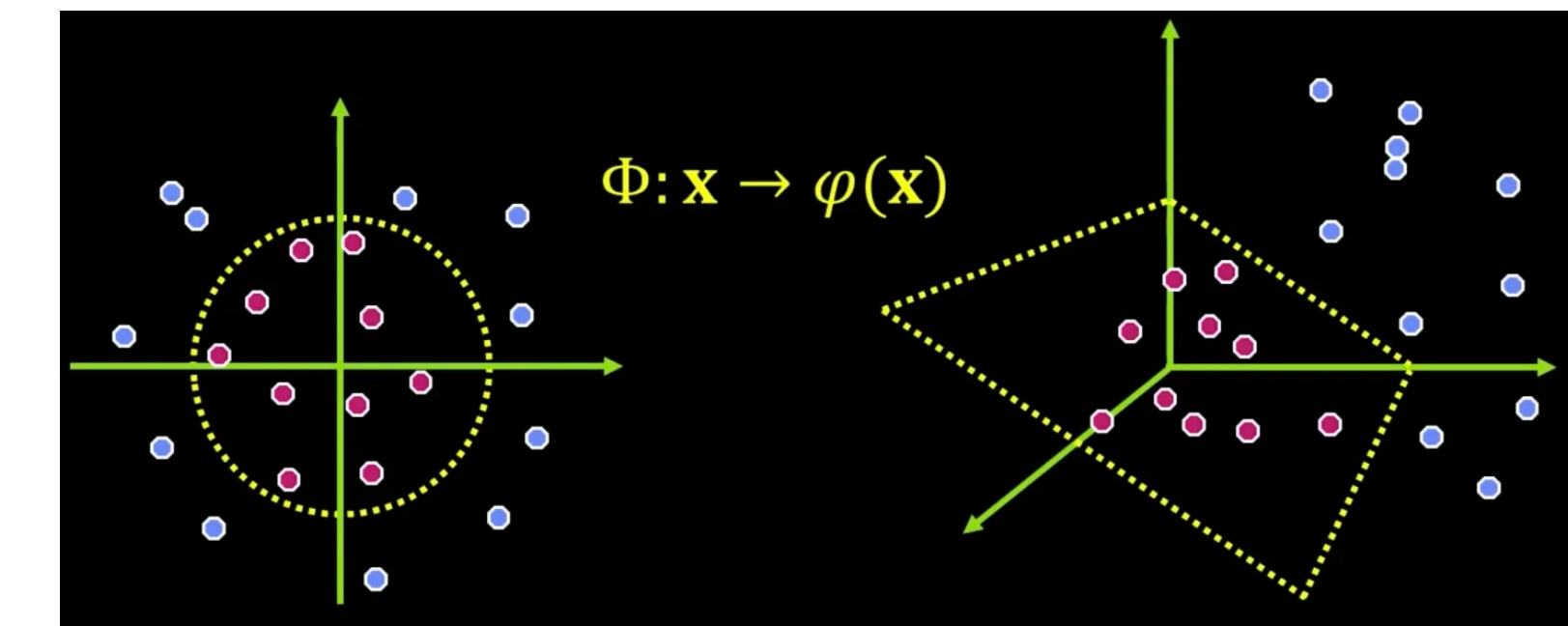
- 判别函数

$$f(x) = \text{sgn}((w \cdot x) + b) = \text{sgn} \left(\sum_{i=1}^N \alpha_i y_i (x_i \cdot x) + b \right)$$

- 支持向量满足等式

$$y_i \left(\sum_{i=1}^n \alpha_i (x_i \cdot x_j) + b \right) - 1 = 0$$

- 特征 x 进行非线性变换为 $z = \varphi(x)$, 则决策函数



$$f(x) = \text{sgn}(w^\varphi \cdot z + b) = \text{sgn} \left(\sum_{i=1}^n \alpha_i y_i (\varphi(x_i) \cdot \varphi(x)) + b \right)$$

6.4.2 核函数变换与支持向量机

- 优化问题变成

$$\max Q(\alpha) = \sum_{i=1}^N \alpha_i - \frac{1}{2} \sum_{i,j=1}^N \alpha_i \alpha_j y_i y_j (\varphi(x_i) \cdot \varphi(x_j))$$

$$\text{s.t. } \sum_{i=1}^N y_i \alpha_i = 0, \quad 0 \leq \alpha_i \leq C, \quad i = 1, \dots, N$$

- 支持向量满足等式

$$y_j \left(\sum_{i=1}^n \alpha_i y_i (\varphi(x_i) \cdot \varphi(x_j)) + b \right) - 1 = 0$$

- 核函数

$$K(x_i, x_j) \stackrel{\text{def}}{=} (\varphi(x_i) \cdot \varphi(x_j))$$

6.4.2 核函数变换与支持向量机

- 变换空间里的支持向量机

$$f(x) = \text{sgn} \left(\sum_{i=1}^n \alpha_i y_i K(\mathbf{x}_i, \mathbf{x}) + b \right)$$

- 系数 α 是下列优化问题的解

$$\max_{\alpha} Q(\alpha) = \sum_{i=1}^n \alpha_i - \frac{1}{2} \sum_{i,j=1}^n \alpha_i \alpha_j y_i y_j K(\mathbf{x}_i \cdot \mathbf{x}_j)$$

$$\text{s.t. } \sum_{i=1}^n y_i \alpha_i = 0, \quad 0 \leq \alpha_i \leq C, i = 1, \dots, n$$

- b 通过满足下式的样本（支持向量）求得

$$y_j \left(\sum_{i=1}^n \alpha_i y_i K(\mathbf{x}_i \cdot \mathbf{x}_j) + b \right) - 1 = 0$$

6.4.2 核函数变换与支持向量机

- 核函数的作用

- $K(x_i, x_j) \stackrel{\text{def}}{=} (\varphi(x_i) \cdot \varphi(x_j))$: 只是做个内积运算，为什么要有核函数？

- 降低计算量

如果有核函数 $k(x, y) = (\phi(x), \phi(y))$, 使得 x_i 与 x_j 在特征空间的内积 $\varphi(x_i) \cdot \varphi(x_j)$ 等于它们在原始样本空间中通过函数 $k(x, y)$ 计算的结果, 就不需要计算高维甚至无穷维空间的内积了。

- 直接设计核函数 $k(x, y)$, 不用设计变换 $\phi(x)$

6.4.2 核函数变换与支持向量机

举个例子：假设我们有一个多项式核函数：

$$k(x, y) = (x \cdot y + 1)^2$$

带进样本点的后：

$$k(x, y) = \left(\sum_{i=1}^n (x_i \cdot y_i) + 1 \right)^2$$

而它的展开项是：

$$\sum_{i=1}^n x_i^2 y_i^2 + \sum_{i=2}^n \sum_{j=1}^{i-1} (\sqrt{2}x_i x_j)(\sqrt{2}y_i y_j) + \sum_{i=1}^n n(\sqrt{2}x_i)(\sqrt{2}y_i) + 1$$

如果没有核函数，我们则需要把向量映射成：

$$x' = (x_1^2, \dots, x_n^2, \dots, \sqrt{2}x_1, \dots, \sqrt{2}x_n, 1)$$

然后在进行内积计算，才能与多项式核函数达到相同的效果。

6.4.2 核函数变换与支持向量机

- 定理 (**Mercer条件**)
 - 对于任意的对称函数 $K(x, x')$, 它是某个特征空间中的内积运算的充分必要条件是, 对任意的 $\varphi \neq 0$ 且 $\int \varphi^2(x) dx < \infty$, 有 $\iiint K(x, x') \varphi(x) \varphi(x') dx dx' > 0$
- 正定核 (**positive definite kernels**)
 - 对 $K(x_i, x_j)$ 是定义在空间 X 上的对称函数, 且对任意的训练数据 $x_1, \dots, x_m \in X$ 和任意的实系数 $a_1, \dots, a_m \in R$, 都有 $\sum_{i,j} a_i a_j K(x_i, x_j) \geq 0$
- 肯定存在 $K(x, x') = (\varphi(x) \varphi(x'))$ 的空间称为可再生核希尔伯特空间**RKHS** (reproducing kernel Hilbert space)

6.4.2 核函数变换与支持向量机

- 常用核函数形式

- 多项式核函数

$$K(x, x') = ((x \cdot x') + 1)^q$$

- 径向基 (RBF) 核函数

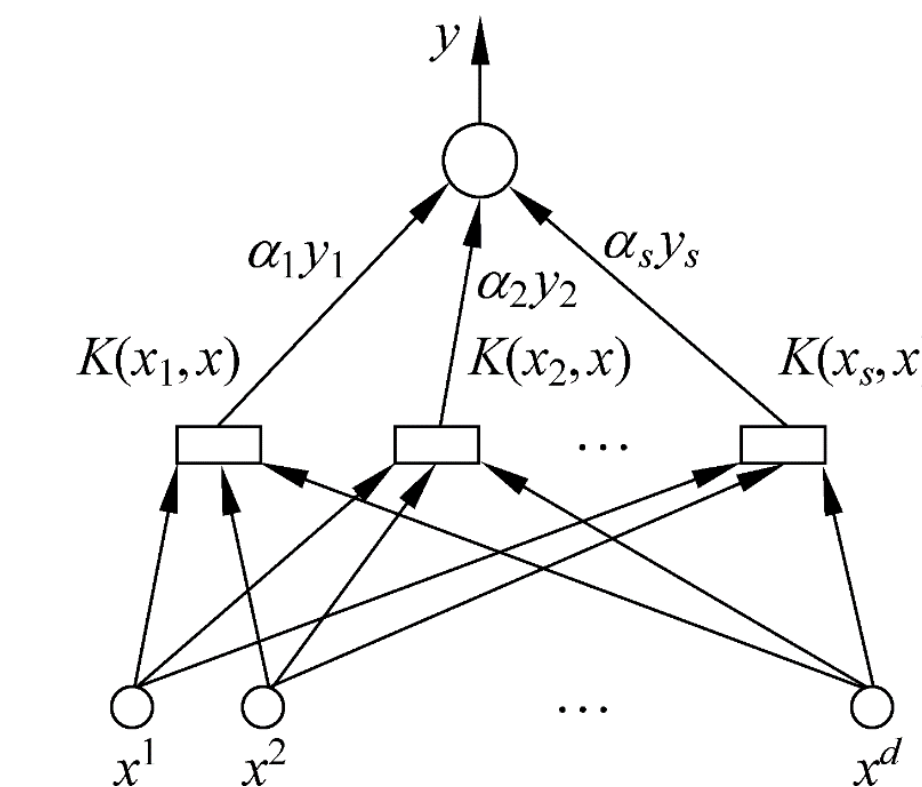
$$K(x, x') = \exp\left(-\frac{\|x - x'\|^2}{\sigma^2}\right)$$

- Sigmoid函数

$$K(x, x') = \tanh(\nu(x \cdot x') + c)$$

6.4.2 核函数变换与支持向量机

- 核函数及其参数的选择
 - 具体问题具体分析：采用启发式方法或者累试的方法
 - 参数先尝试简单的选择，再考虑非线性核
- 核函数与相似性度量
 - 不同核函数，可以看作不同相似性度量
- 维数和推广能力
 - 采用核函数作为内积，避免了高维空间的计算
 - 但核函数仍然是将特征映射到高维空间



输出(决策规则):
 $y = \text{sgn}(\sum_{i=1}^s \alpha_i y_i K(x_i, x) + b)$

权值 $w_i = \alpha_i y_i$

基于 s 个支持向量 x_1, x_2, \dots, x_s 的
非线性变换(内积)

输入向量 $x = [x^1, x^2, \dots, x^d]$

6.4.4 支持向量机的实现算法

- SVMlight :

<http://svmlight.joachims.org/>

- SVMTorch :

<http://bengio.abracadoudou.com/projects/SVMTorch.html>

- LibSVM :

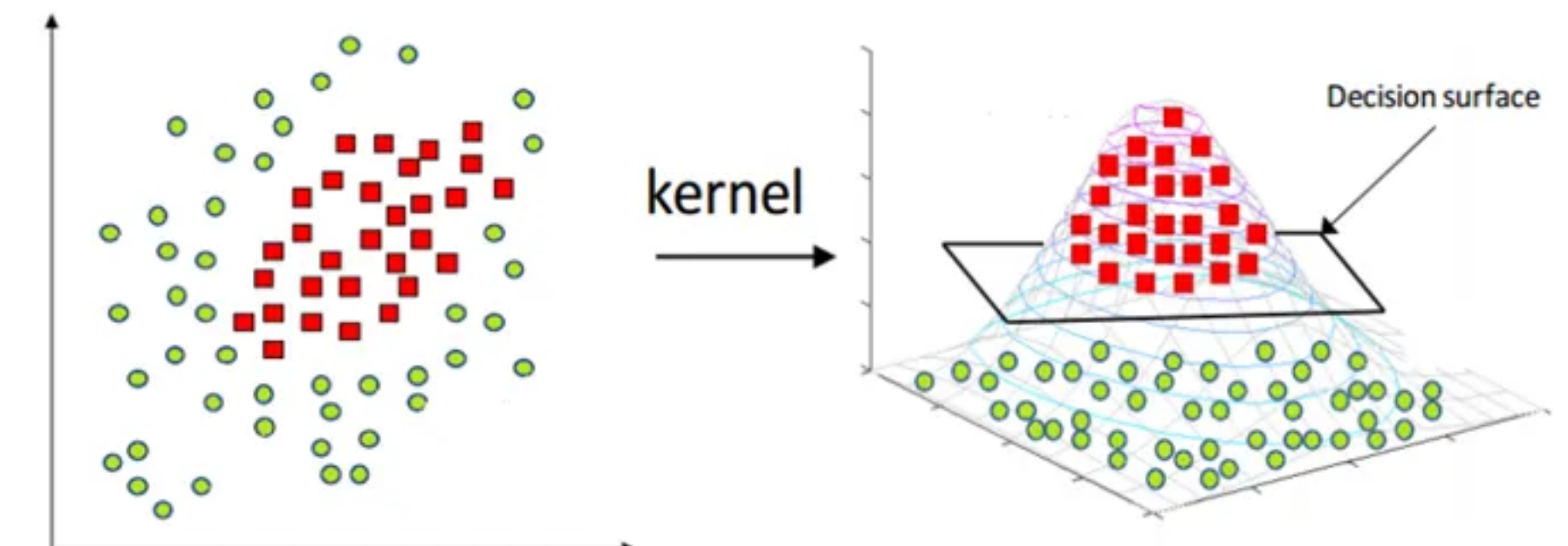
<https://www.csie.ntu.edu.tw/~cjlin/libsvm/>

- 更多软件 :

<http://www.kernel-machines.org/software>

6.5 核函数机器

- 核方法（Kernel Method）
 - 一类把低维空间的非线性可分问题，转化为高维空间的线性可分问题的方法
- 核函数（Kernel Function）
 - 设 \mathcal{X} 是输入空间（即 $x_i \in \mathcal{X}$, \mathcal{X} 是 \mathbb{R}^n 的子集或离散集合），又设 \mathcal{H} 为特征空间（ \mathcal{H} 是希尔伯特空间），如果存在一个从 \mathcal{X} 到 \mathcal{H} 的映射
- $$\phi(x) : \mathcal{X} \rightarrow \mathcal{H}$$
- 使得对所有 $x, z \in \mathcal{X}$ ，函数 $K(x, z)$ 满足条件
- $$K(x, z) = \langle \phi(x), \phi(z) \rangle$$
- 则称 K 为核函数，其中 $\phi(x)$ 为映射函数， $\langle \cdot, \cdot \rangle$ 为内积。
- 核技巧（Kernel Trick）
 - 一种利用核函数直接计算 $\langle \phi(x), \phi(z) \rangle$ ，以避开分别计算 $\phi(x)$ 和 $\phi(z)$ ，从而加速核方法计算的技巧



6.5.1 大间隔机器与核函数机器

- 非线性变换存在的问题
 - 计算层面：维数过高，计算复杂度高
 - 概念层面：样本数不变，维数升高，决策函数的参数增加，估计的可信度降低，面对新样本泛化能力差
- 支持向量机核心思想
 - 大间隔方法：最大化分类间隔保证泛化能力
 - 核函数方法：核函数实现特征的非线性变换，用变换空间中的线性问题求解原空间中的非线性问题

6.5.2 核Fisher判别

- Fisher线性判别

$$\max_w J(w) = \frac{w^T S_B w}{w^T S_w w}$$

$$S_B = (\mathbf{m}_1 - \mathbf{m}_2)(\mathbf{m}_1 - \mathbf{m}_2)^T$$

$$S_w = \sum_{q=1,2} \sum_{x_i \in \omega_q} (x_i - \mathbf{m}_q)(x_i - \mathbf{m}_q)^T$$

- 其解为

$$w = S_w^{-1}(\mathbf{m}_1 - \mathbf{m}_2)$$

6.5.2 核Fisher判别

- 样本 x 非线性变换至 F 空间: $x \longrightarrow \Phi(x) \in F$

$$J(w) = \frac{w^T S_B^\Phi w}{w^T S_W^\Phi w}$$

$$S_B^\Phi = (\mathbf{m}_1^\Phi - \mathbf{m}_2^\Phi)(\mathbf{m}_1^\Phi - \mathbf{m}_2^\Phi)^T$$

$$S_W^\Phi = \sum_{i=1,2} \sum_{x \in \omega_i} (\Phi(x) - \mathbf{m}_i^\Phi) (\Phi(x) - \mathbf{m}_i^\Phi)^T$$

$$\mathbf{m}_i^\Phi = \frac{1}{l_i} \sum_{j=1}^{l_i} \Phi(x_j^i)$$

- 通过核函数求解: 根据可再生希尔伯特空间的有关理论, 解 $w \in F$ 满足

$$w = \sum_{j=1}^l \alpha_j \Phi(x_j)$$

6.5.2 核Fisher判別

- 可以推出

$$\mathbf{w}^T \mathbf{m}_i^\emptyset = \frac{1}{l_i} \sum_{j=1}^l \sum_{k=1}^{l_i} \alpha_j k(\mathbf{x}_j, \mathbf{x}_k^i) = \boldsymbol{\alpha}^T M_i$$

- 记

$$M := (M_1 - M_2)(M_1 - M_2)^T$$

- 类间和类内离散度矩阵

$$\mathbf{w}^T S_B^\Phi \mathbf{w} = \boldsymbol{\alpha}^T M \boldsymbol{\alpha}, \mathbf{w}^T S_W^\Phi \mathbf{w} = \boldsymbol{\alpha}^T N \boldsymbol{\alpha}$$

$$N := \sum_{j=1,2} K_j(I - \mathbf{1}_{l_j}) \mathbf{K}_j^T$$

6.5.2 核Fisher判別

- 目标函数成为

$$J(\alpha) = \frac{\alpha^T M \alpha}{\alpha^T N \alpha}$$

- 最大化上式的解是 $N^{-1}M$ 的最大本征值的本征向量
- 最优解的方向

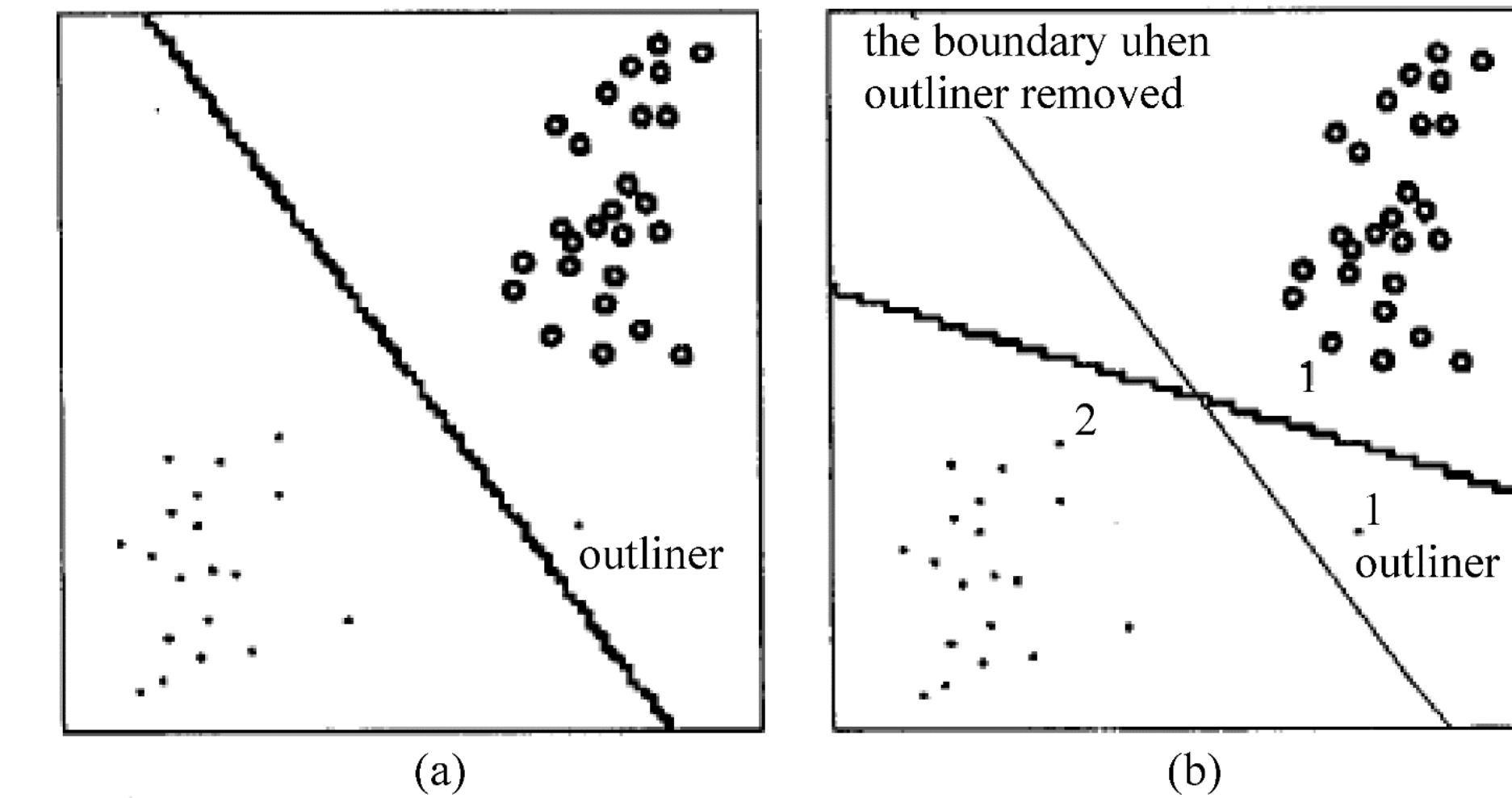
$$\alpha \propto N^{-1}(M_1 - M_2)$$

- 原空间到Fisher判别的投影

$$\langle w, \Phi(x) \rangle = \sum_{i=1}^l \alpha_i k(x_i, x)$$

6.5.3 中心支持向量机

- 支持向量机
 - 核心思想：控制分类间隔实现分类；通过两类边界上的支持向量来定义。
 - 对样本噪声和偏离数据分布的野值非常敏感
 - 样本数非常少时，不确定性很大
- 中心支持向量机 (**Central SVM**)
 - 对用中心间隔代替边界间隔：样本中心
 - 综合基于均值和基于边界样本方法的优势
 - 极少或含野值样本下能够得到更可靠的分类器



6.5.3 中心支持向量机

线性判别函数 $y = w \cdot x + b, y_i \in \{1, -1\}, i = 1, \dots, n$

- 全部线性可分

$$y_i(w \cdot x_i + b) > 0, i = 1, \dots, n$$

- 引入小常数 $\varepsilon > 0$:

$$y_i(w \cdot x_i + b) \geq \varepsilon > 0, i = 1, \dots, n$$

- 极少或含野值样本下能够得到更可靠的分类器

6.5.3 中心支持向量机

线性判别函数 $y = \mathbf{w} \cdot \mathbf{x} + b, y_i \in \{1, -1\}, i = 1, \dots, n$

- 全部线性可分
 - 记两类中心为 x^+ 和 x^- , 到分类超平面的距离

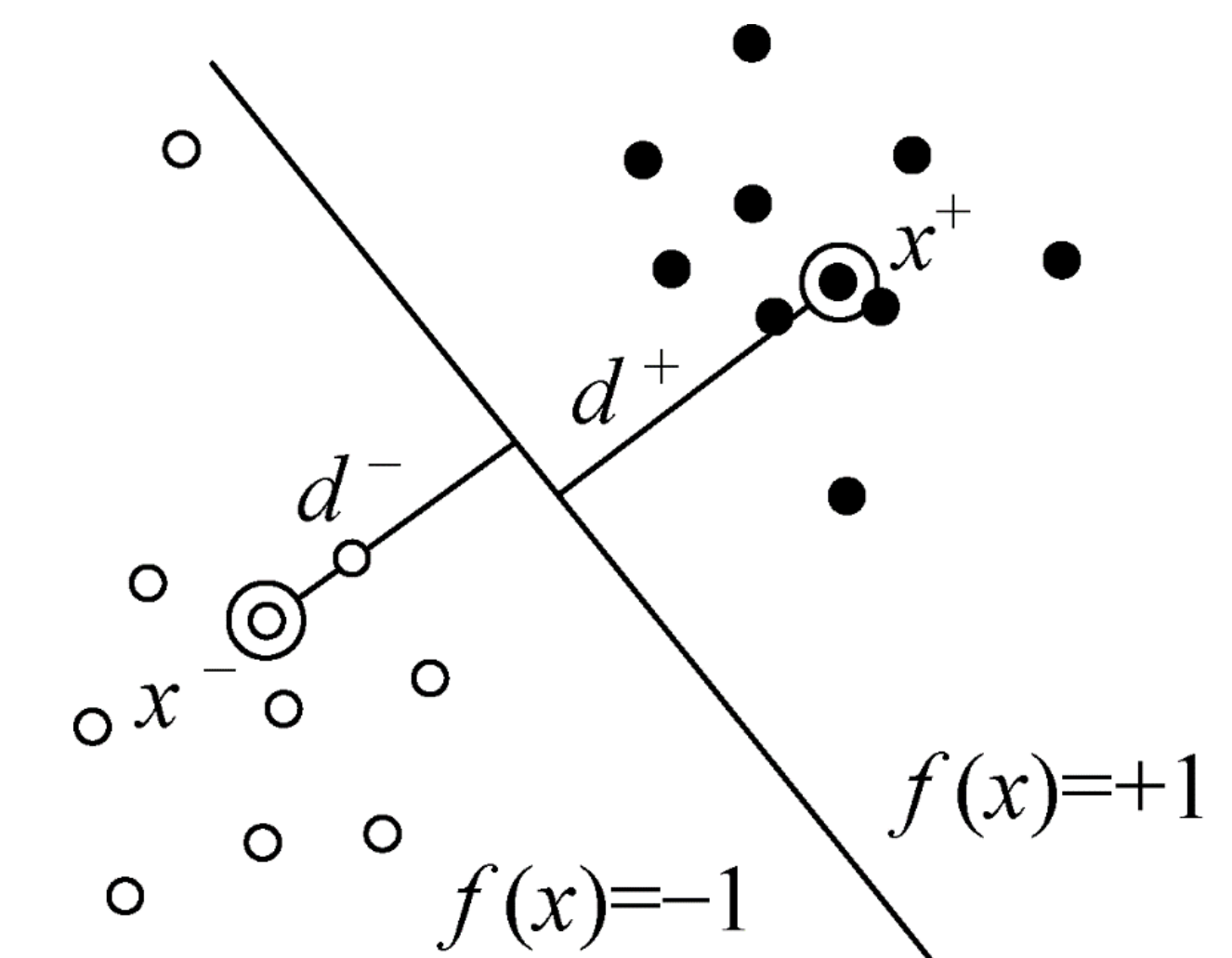
$$d^+ = \frac{|\mathbf{w} \cdot \mathbf{x}^+ + b|}{\|\mathbf{w}\|} = \frac{y^+(\mathbf{w} \cdot \mathbf{x}^+ + b)}{\|\mathbf{w}\|}$$

$$d^- = \frac{|\mathbf{w} \cdot \mathbf{x}^- + b|}{\|\mathbf{w}\|} = \frac{y^-(\mathbf{w} \cdot \mathbf{x}^- + b)}{\|\mathbf{w}\|}$$

- 中心分离间隔

$$d = d^+ + d^- = \frac{\sum_{i=1}^n l_i y_i (\mathbf{w} \cdot \mathbf{x}_i + b)}{\|\mathbf{w}\|}$$

$l_i = 1/n^+$ (第一类样本) , $l_i = 1/n^-$ (第二类样本) ; n^+, n^- 为两类样本数量



6.5.3 中心支持向量机

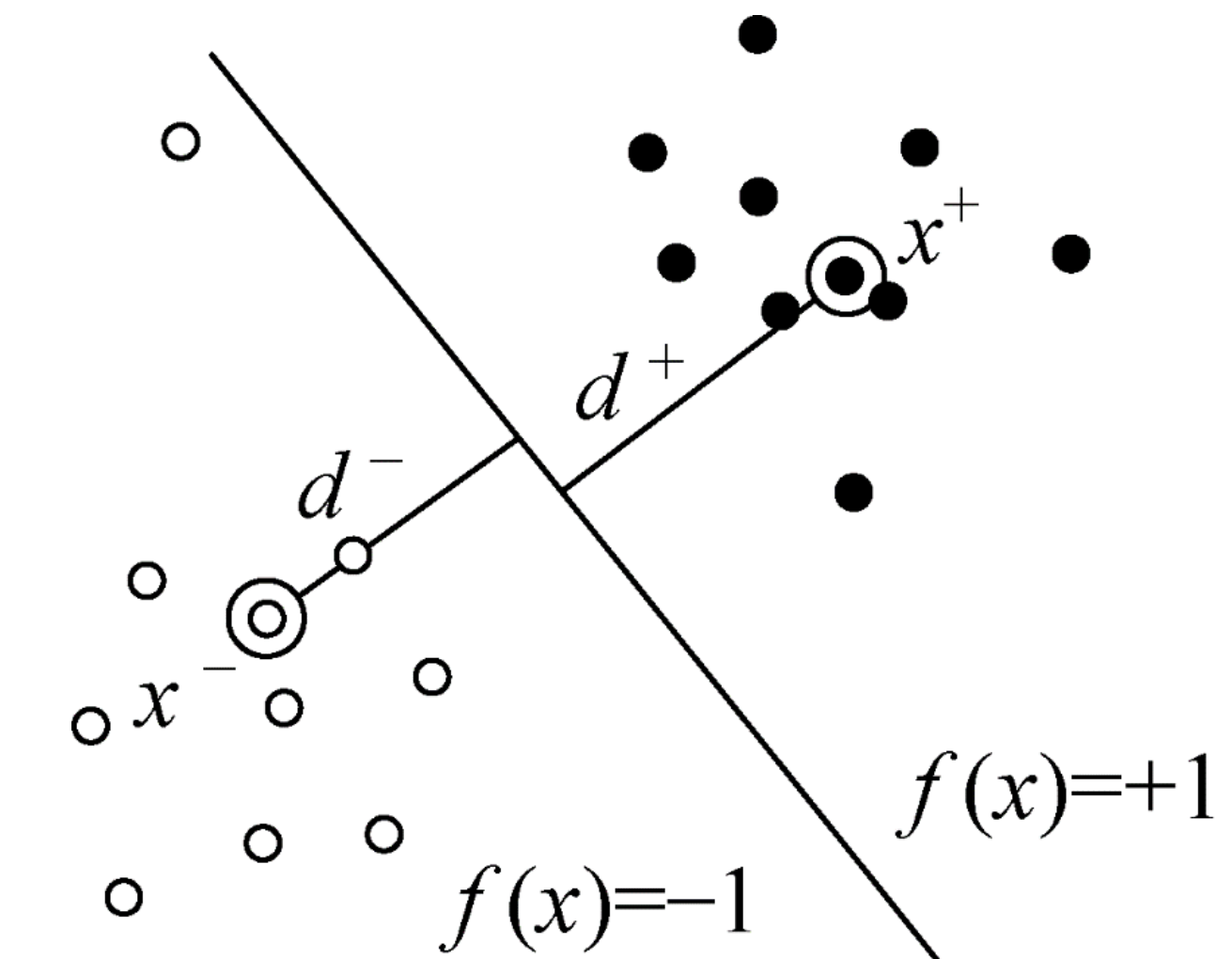
线性判别函数 $y = \mathbf{w} \cdot \mathbf{x} + b, y_i \in \{1, -1\}, i = 1, \dots, n$

- 全部线性可分
 - 记引入约束条件：两类样本可分

$$\sum_{i=1}^n l_i y_i (\mathbf{w} \cdot \mathbf{x}_i) = 1$$

- 优化问题

$$\min \frac{1}{2} \|\mathbf{w}\|^2$$



6.5.3 中心支持向量机

线性判别函数 $y = \mathbf{w} \cdot \mathbf{x} + b, y_i \in \{1, -1\}, i = 1, \dots, n$

- 线性不可分，引入 $\xi_i > 0$

$$y_i(\mathbf{w} \cdot \mathbf{x}_i + b) + \xi_i \geq \varepsilon > 0, i = 1, \dots, n$$

- 目标函数修正

$$\min \frac{1}{2} \|\mathbf{w}\|^2 + C \left(\sum_{i=1}^n \xi_i \right)$$

- 对偶问题

$$\max Q(\alpha + \beta) = \sum_{i=1}^n \varepsilon \alpha_i + \beta - \frac{1}{2} \sum_{i,j=1}^n (\alpha_i + \beta l_i)(\alpha_j + \beta l_j) y_i y_j (\mathbf{x}_i \cdot \mathbf{x}_j)$$

6.5.3 中心支持向量机

线性判别函数 $y = \mathbf{w} \cdot \mathbf{x} + b, y_i \in \{1, -1\}, i = 1, \dots, n$

- 线性不可分，引入 $\xi_i > 0$

– 约束条件

$$\sum_{i=1}^n y_i \alpha_i = 0, 0 \leq \alpha_i \leq C, i = 1, \dots, n, \beta \geq 0$$

– 最优解满足

$$\mathbf{w}^* = \sum_{i=1}^n (\alpha_i^* + \beta^* l_i) y_i \mathbf{x}_i = \sum_{i=1}^n \alpha_i^* y_i \mathbf{x}_i + \beta^* (\mathbf{x}^+ - \mathbf{x}^-)$$

$$\mathbf{w}^{CSVM} = (1 - \lambda) \mathbf{w}^{SVM} + \lambda (\mathbf{x}^+ - \mathbf{x}^-)$$